



PERÚ
Ministerio
de Desarrollo Agrario
y Riego



XXIV REUNIÓN LATINOAMERICANA DE MAÍZ

Cajamarca - Perú
Junio de 2022

Organizado por:
Instituto Nacional de Innovación Agraria

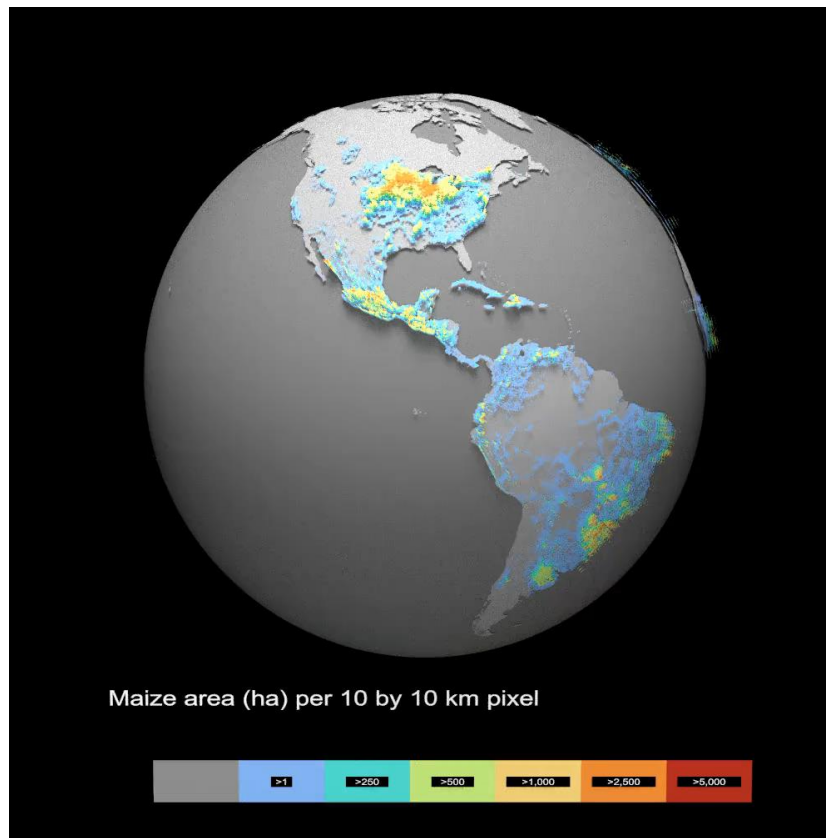


Del 15 al 17
de junio
2022



Siempre
con el pueblo

Escenarios de futuro cambio climático en la producción de maíz

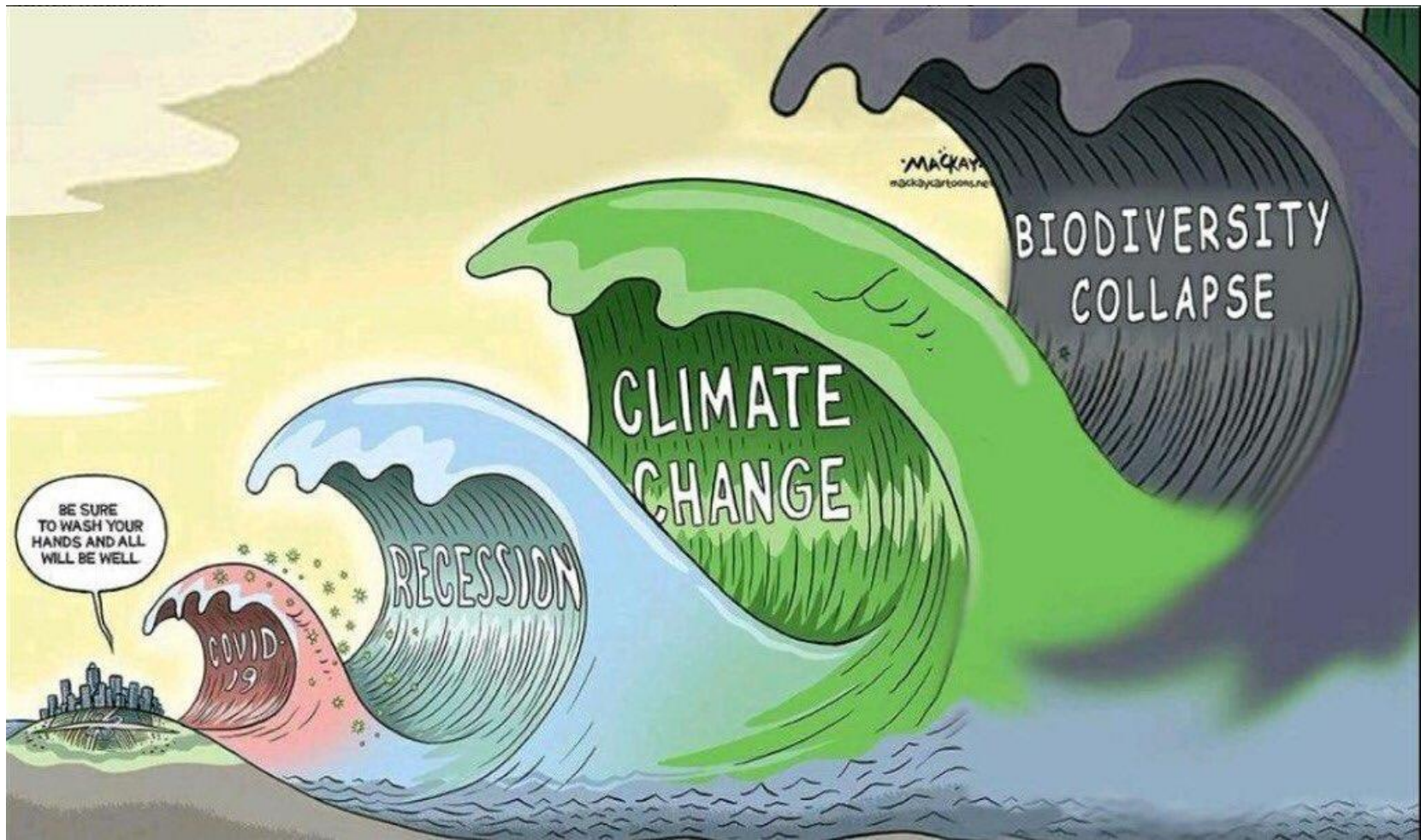


Dr. Kai Sonder

Centro Internacional de Mejoramiento de Maíz y Trigo
CIMMYT

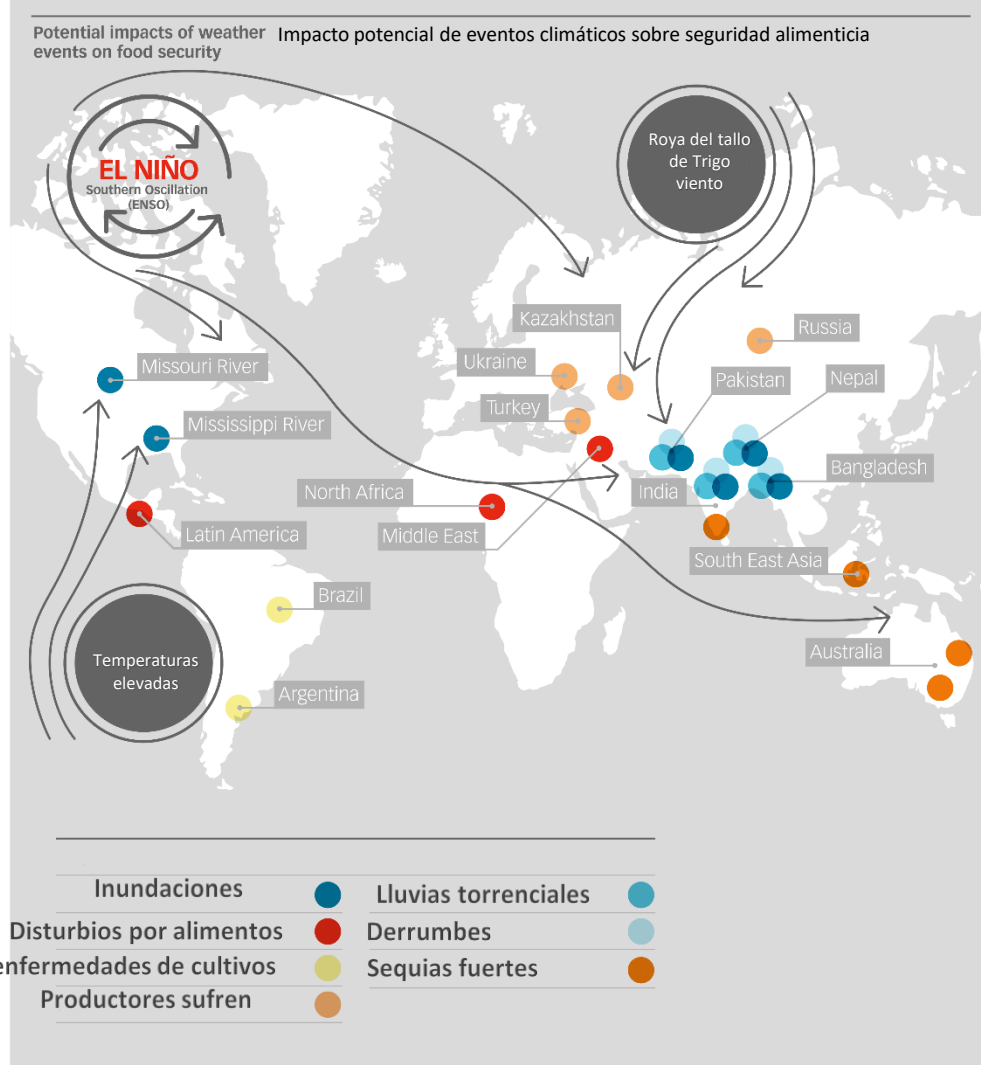


CIMMYT^{MR}



Estudio Lloyd's Sobre choque de sistemas De Alimentos 2015

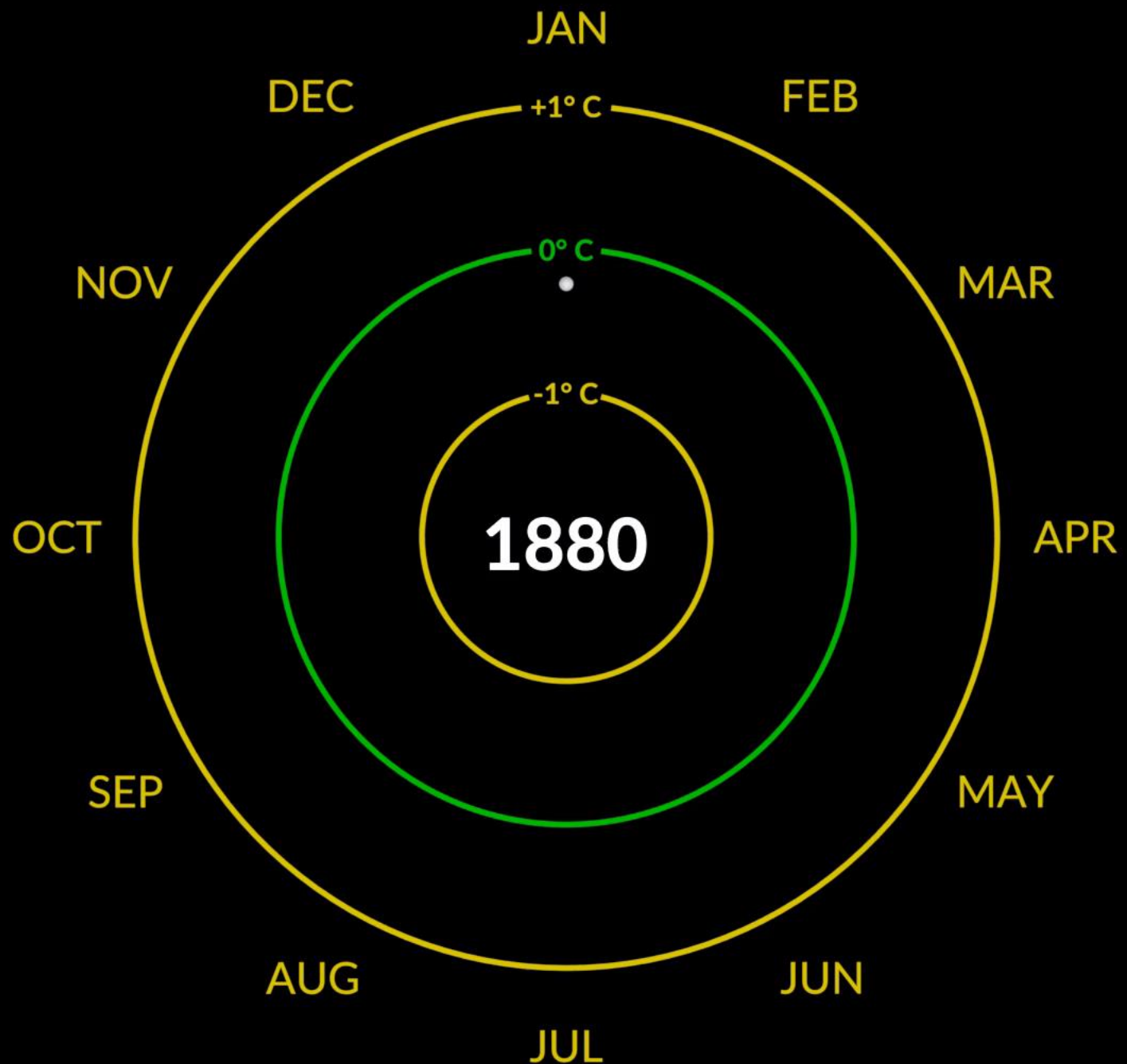
Informe de riesgos emergentes



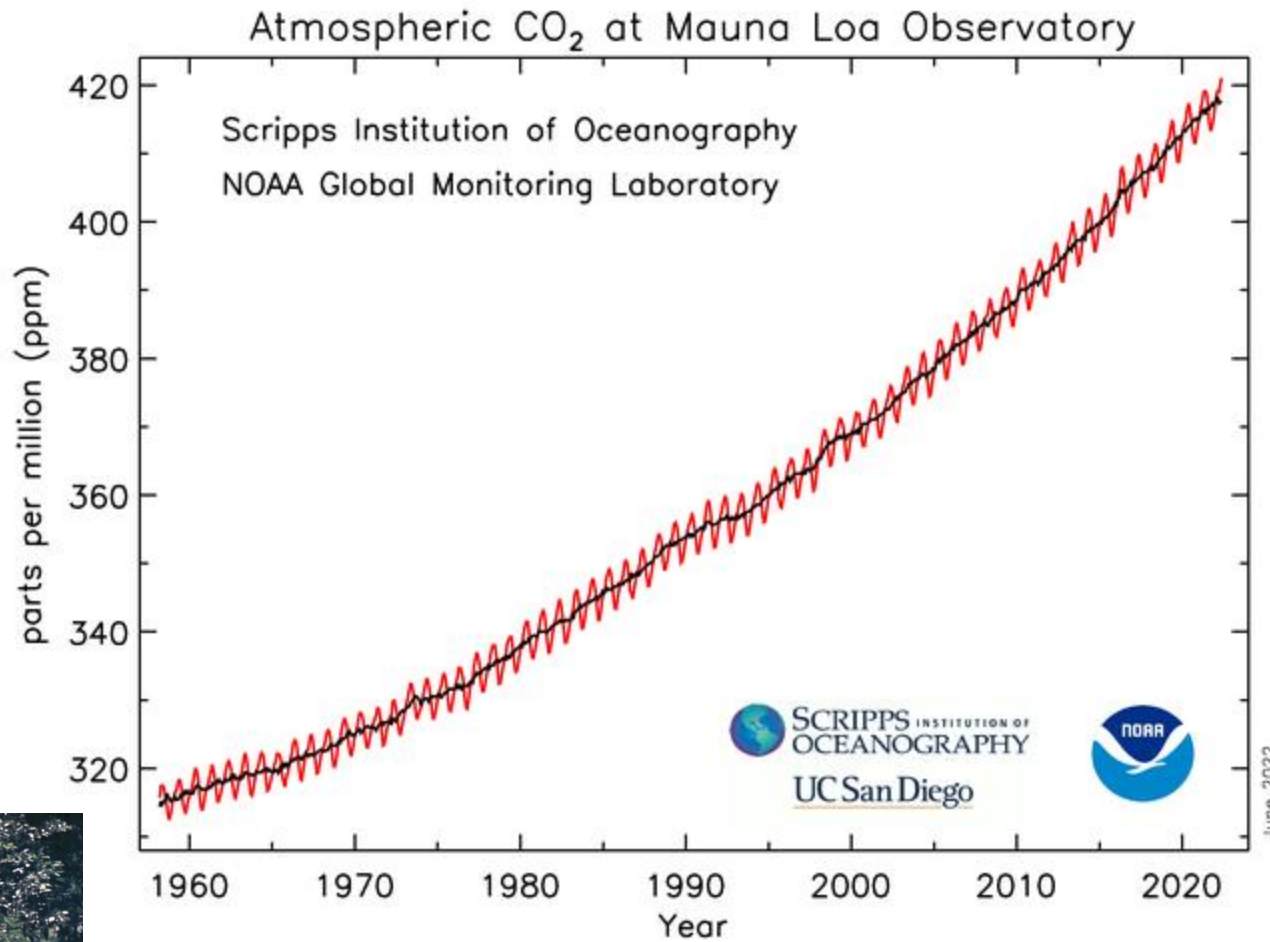
Overall global economic impact:

Impacto económico global

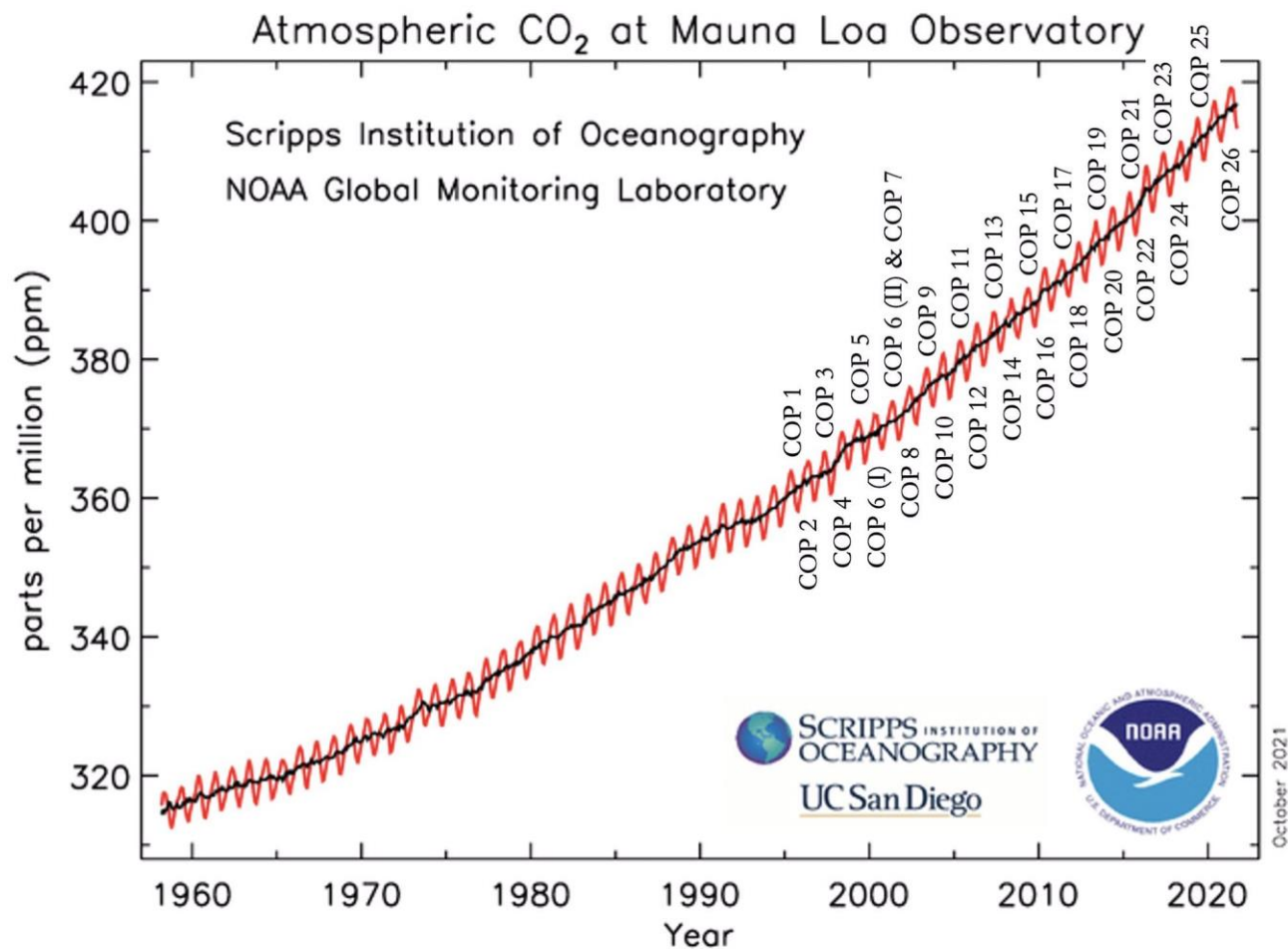




MYT^{MR}

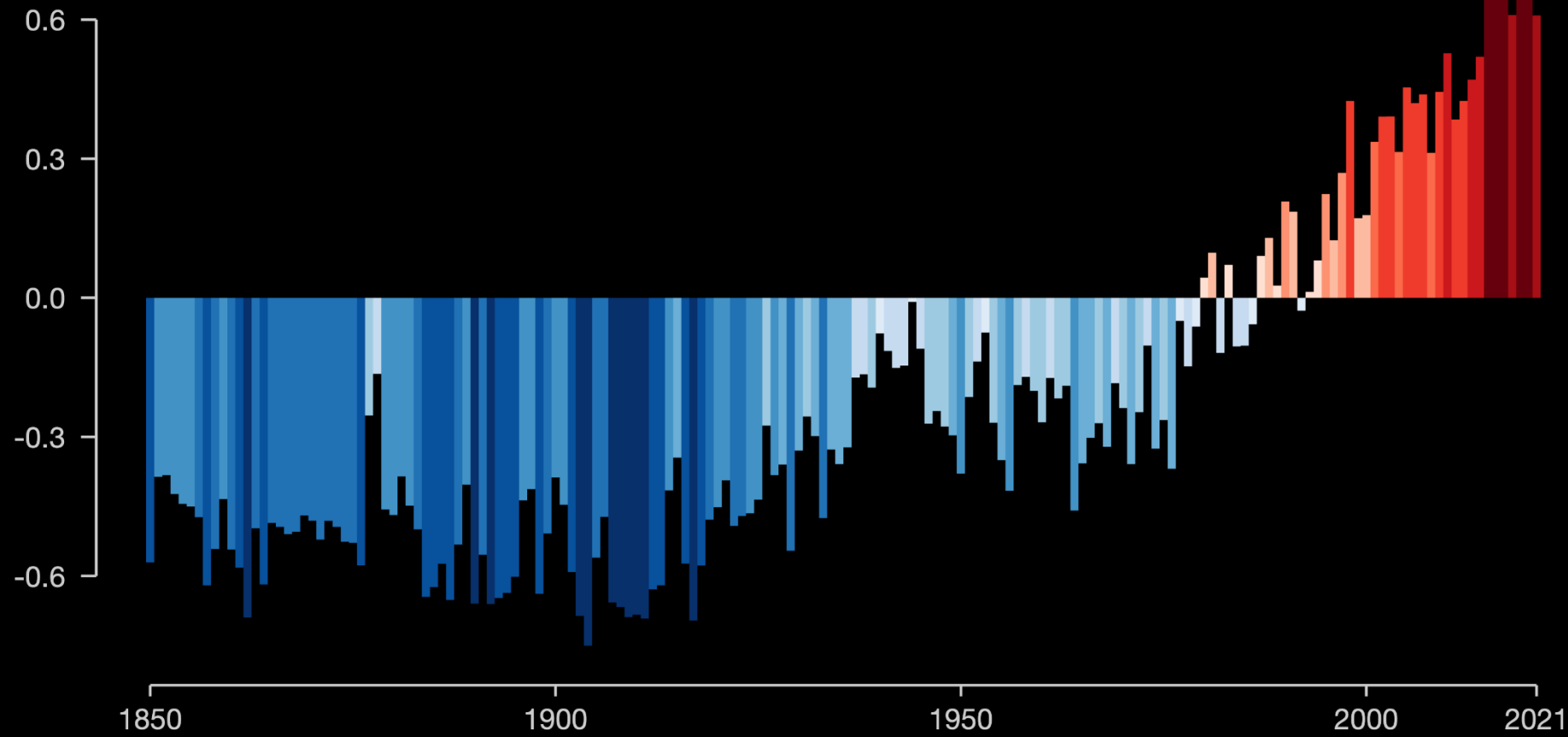


Mayo, 2022 = 420.99 ppm
1990 = 354
1968 = 323



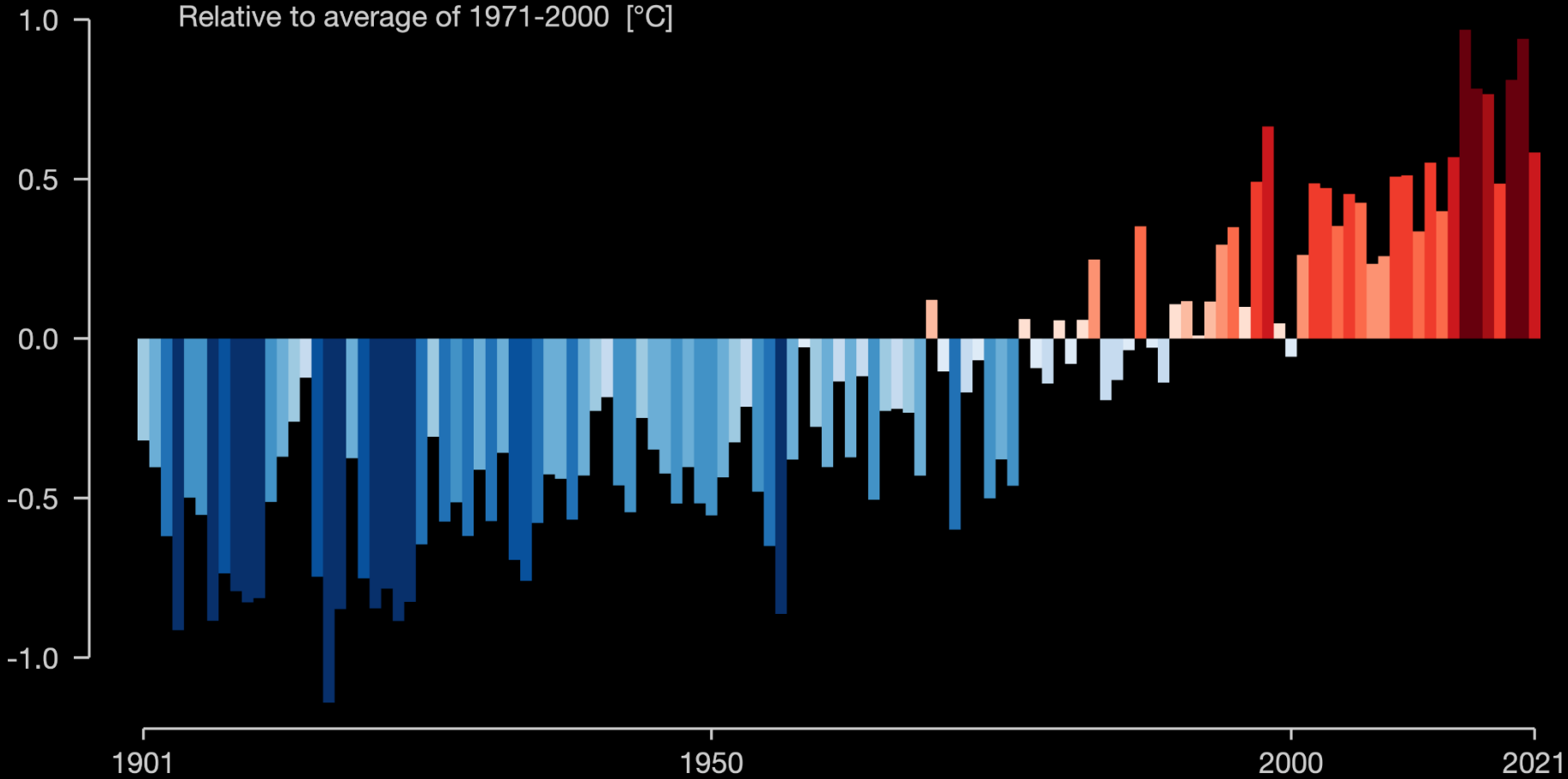
Cambio de Temperaturas Globales

Relative to average of 1971-2000 [°C]



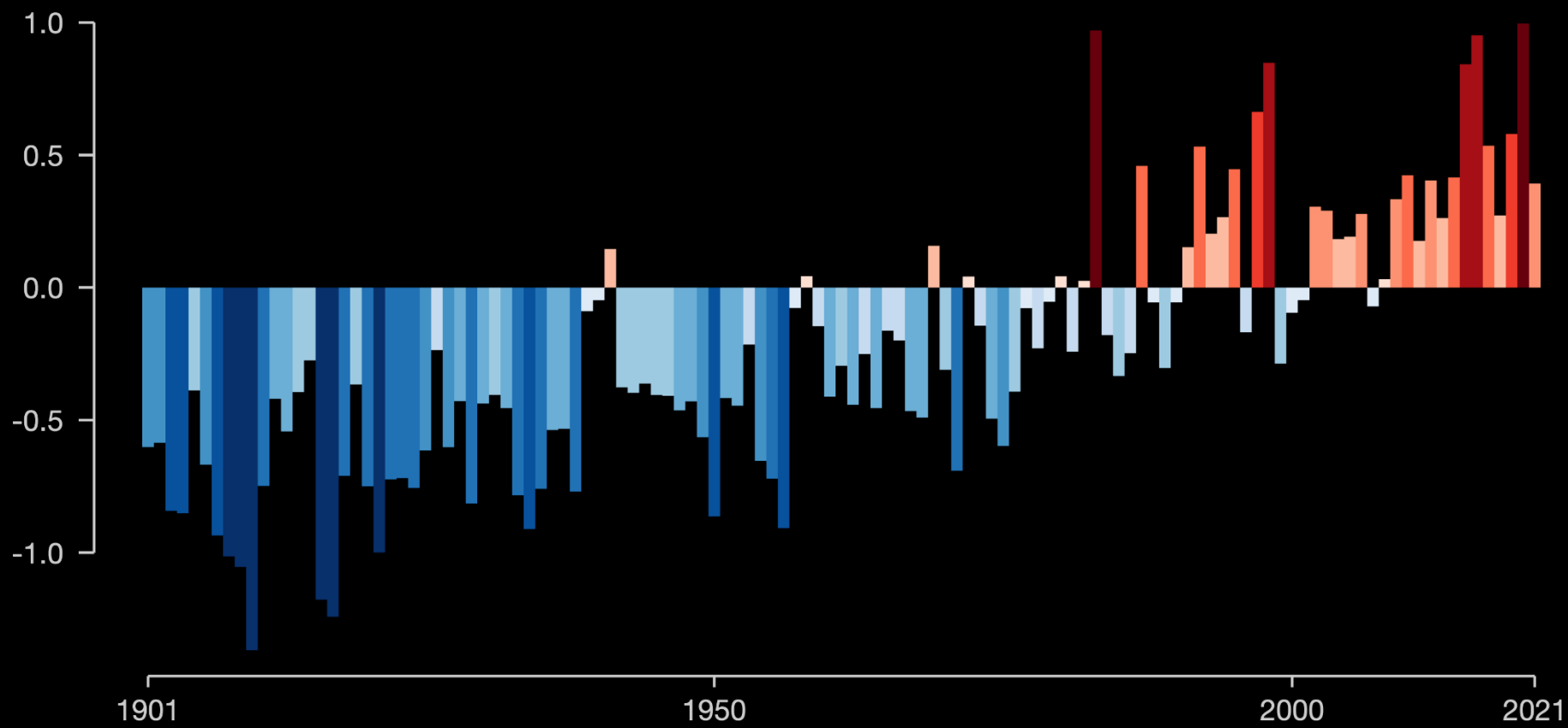
Cambio de Temperaturas en America del Sur

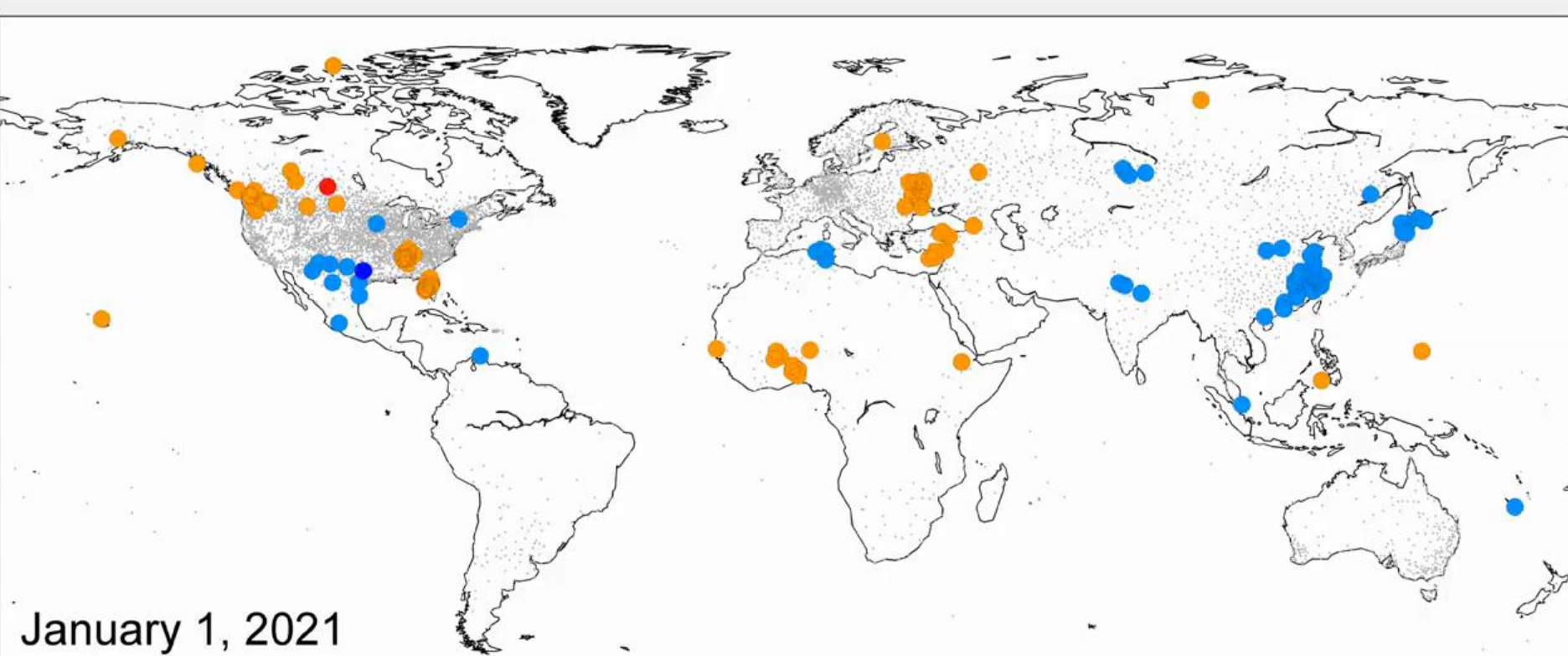
Relative to average of 1971-2000 [°C]



Cambio de Temperaturas en Peru

Relative to average of 1971-2000 [°C]





January 1, 2021

New Record High

77	1	0
Daily	Monthly	All-time

New Record Low

59	1	0
Daily	Monthly	All-time

Based on daily high and low temperature at 8524 weather stations with at least 40 years of observations. Raw data is used, records may still require verification.

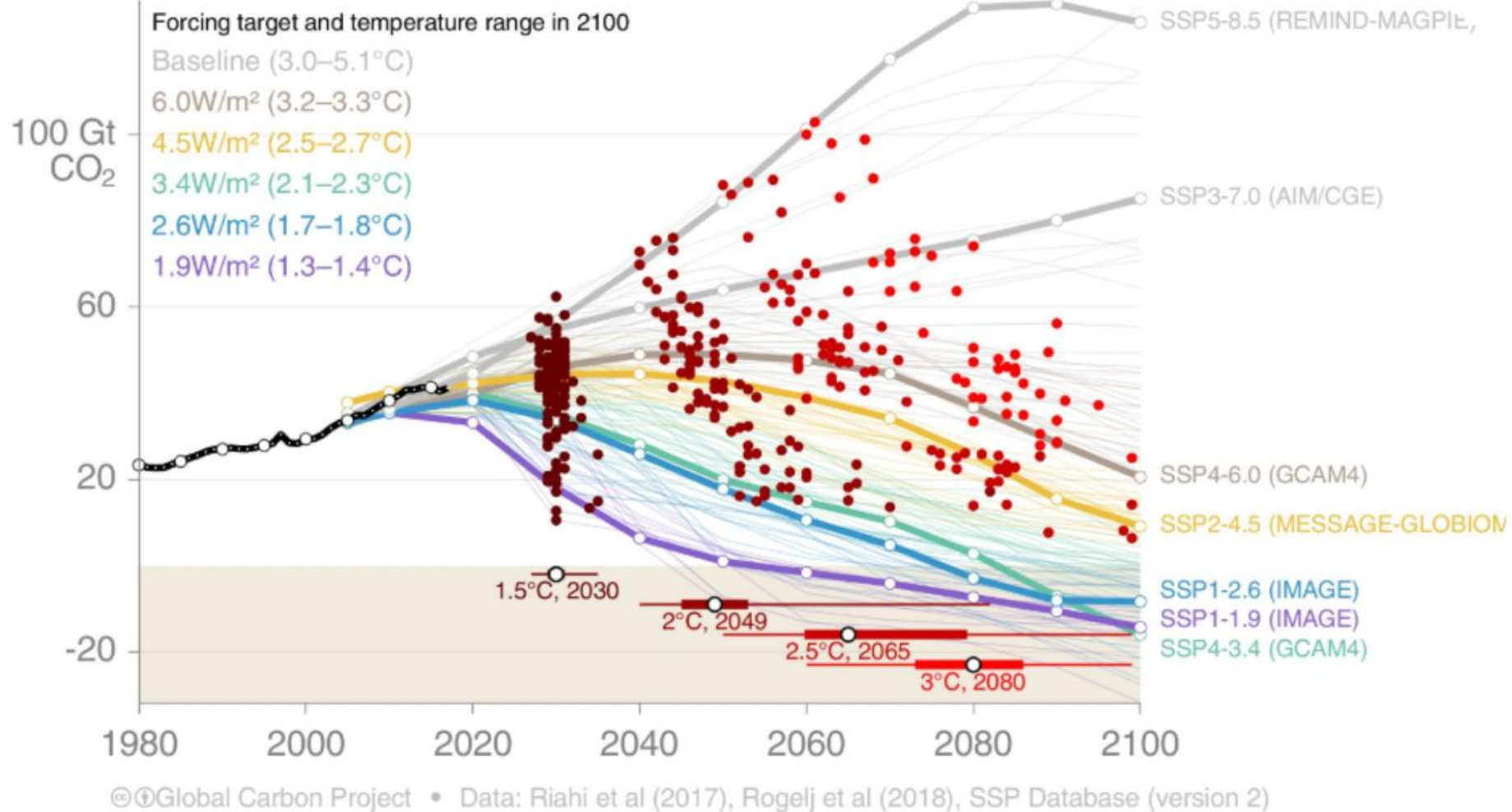


Mecanismos de *forzamiento* radiativo

Componente de escenario	RCP2.6	RCP4.5	RCP6	RCP8.5
Emisiones de gases de invernadero	Muy bajos	Mitigación baja-medio Línea base muy baja	Línea base media Alta mitigación	Línea base alta
Área agrícola	Medio para áreas de cultivos y pastizales	Muy bajo para ambos áreas de cultivos y pastizales	Mediana para áreas de cultivos pero muy baja para pastizales	Mediana para ambos áreas de cultivos y pastizales
Polución del aire	Mediana-Baja	Mediana	Mediana	Mediana-Alta

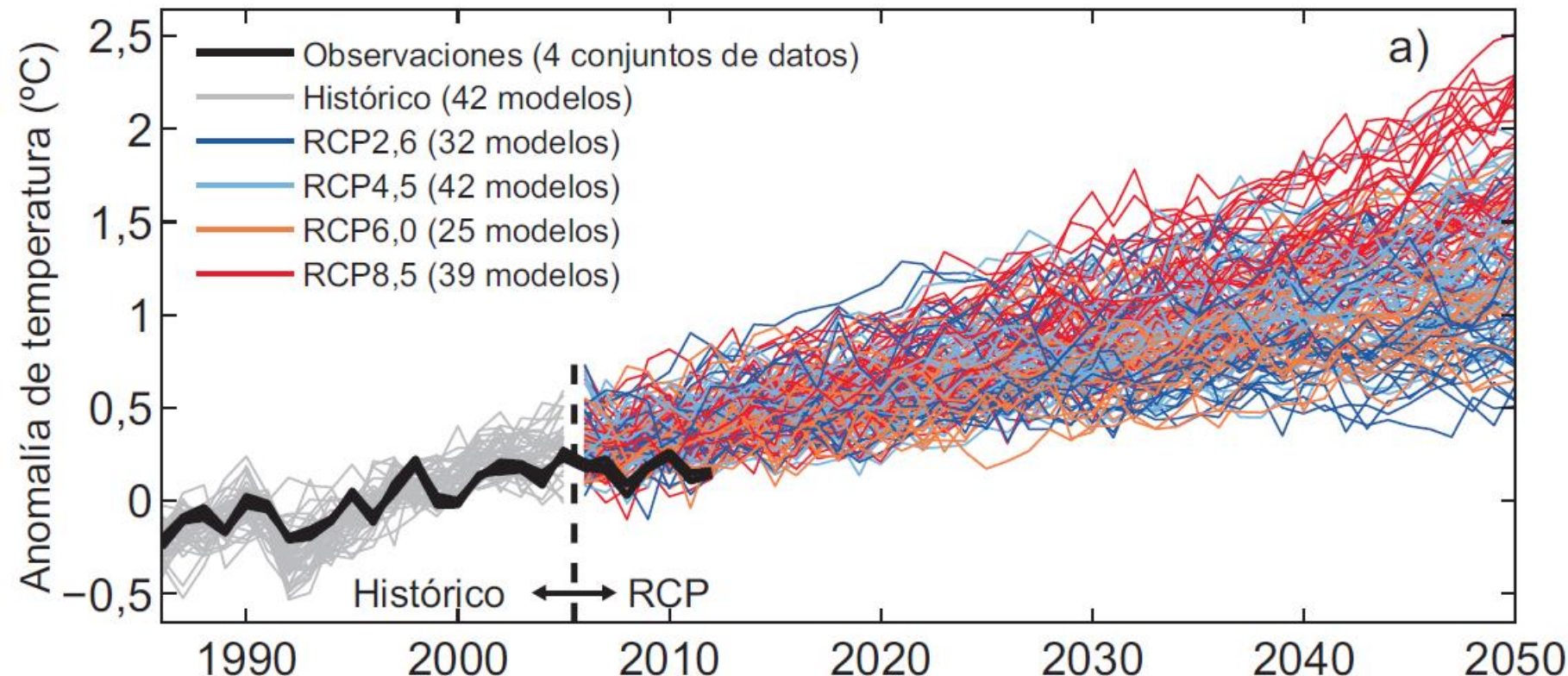
RCP	Descripción
8.5	Aumenta camino de forzamiento de radiación hasta 8.5 W/m ² (~1370 ppm CO ₂ eq) en 2100
6	Camino de estabilización hacia 6 W/m ² (~850 ppm CO ₂ eq) en el 2100
4.5	Estabilización sin pasar hasta 4.5 W/m ² (~650 ppm CO ₂ eq) después del 2100
2.6	Máximo de forzamiento de radiación en ~3 W/m ² (~490 CO ₂ eq) antes del 2100 y después reduce (baja a 2.6 W/m ²) en 2100

Global CO₂ Emissions

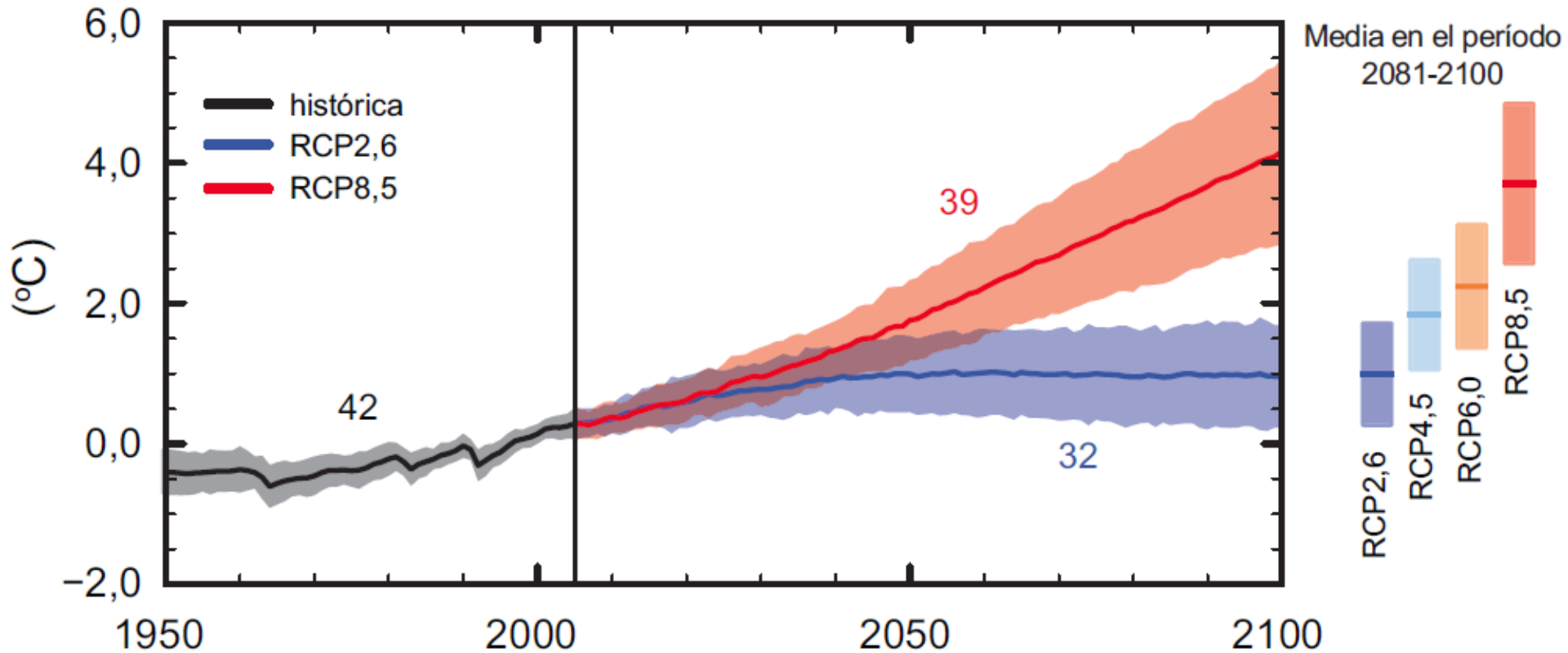


Cambios de Temperatura

Proyecciones a corto plazo de la temperatura media global en relación con 1986-2005

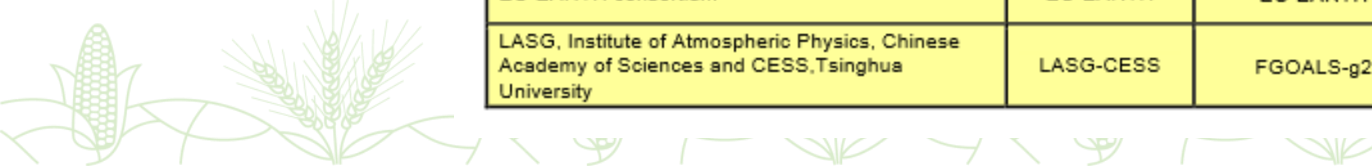


Cambio en la temperatura media global en superficie



Modelos de Circulación Global

Modeling Center (or Group)	Institute ID	Model Name
Commonwealth Scientific and Industrial Research Organization (CSIRO) and Bureau of Meteorology (BOM), Australia	CSIRO-BOM	ACCESS1.0 ACCESS1.3
Beijing Climate Center, China Meteorological Administration	BCC	BCC-CSM1.1 BCC-CSM1.1(m)
Instituto Nacional de Pesquisas Espaciais (National Institute for Space Research)	INPE	BESM OA 2.3*
College of Global Change and Earth System Science, Beijing Normal University	GCESS	BNU-ESM
Canadian Centre for Climate Modelling and Analysis	CCCMA	CanESM2 CanCM4 CanAM4
University of Miami - RSMAS	RSMAS	CCSM4(RSMAS)*
National Center for Atmospheric Research	NCAR	CCSM4
Community Earth System Model Contributors	NSF-DOE-NCAR	CESM1(BGC) CESM1(CAM5) CESM1(CAM5.1,FV2) CESM1(FASTCHEM) CESM1(WACCM)
Center for Ocean-Land-Atmosphere Studies and National Centers for Environmental Prediction	COLA and NCEP	CFSv2-2011
Centro Euro-Mediterraneo per i Cambiamenti Climatici	CMCC	CMCC-CESM CMCC-CM CMCC-CMS
Centre National de Recherches Météorologiques / Centre Européen de Recherche et Formation Avancée en Calcul Scientifique	CNRM-CERFACS	CNRM-CM5 CNRM-CM5-2
Commonwealth Scientific and Industrial Research Organization in collaboration with Queensland Climate Change Centre of Excellence	CSIRO-QCCCE	CSIRO-Mk3.6.0
EC-EARTH consortium	EC-EARTH	EC-EARTH
LASG, Institute of Atmospheric Physics, Chinese Academy of Sciences and CESS,Tsinghua University	LASG-CESS	FGOALS-g2



Modelos de Circulación Global

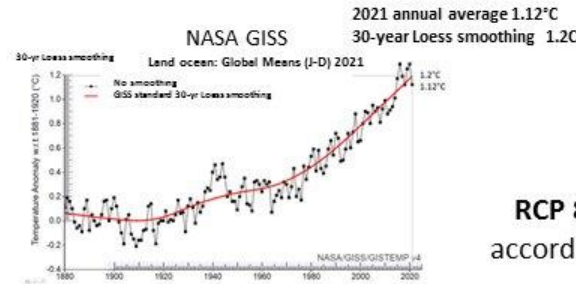
LASG, Institute of Atmospheric Physics, Chinese Academy of Sciences	LASG-IAP	FGOALS-g1 FGOALS-s2
The First Institute of Oceanography, SOA, China	FIO	FIO-ESM
NASA Global Modeling and Assimilation Office	NASA GMAO	GEOS-5
NOAA Geophysical Fluid Dynamics Laboratory	NOAA GFDL	GFDL-CM2.1 GFDL-CM3 GFDL-ESM2G GFDL-ESM2M GFDL-HIRAM-C180 GFDL-HIRAM-C360
NASA Goddard Institute for Space Studies	NASA GISS	GISS-E2-H GISS-E2-H-CC GISS-E2-R GISS-E2-R-CC
National Institute of Meteorological Research/Korea Meteorological Administration	NIMR/KMMA	HadGEM2-AO
Met Office Hadley Centre (additional HadGEM2-ES realizations contributed by Instituto Nacional de Pesquisas Espaciais)	MOHC (additional realizations by INPE)	HadCM3 HadGEM2-CC HadGEM2-ES HadGEM2-A
Institute for Numerical Mathematics	INM	INM-CM4
Institut Pierre-Simon Laplace	IPSL	IPSL-CM5A-LR IPSL-CM5A-MR IPSL-CM5B-LR
Japan Agency for Marine-Earth Science and Technology, Atmosphere and Ocean Research Institute (The University of Tokyo), and National Institute for Environmental Studies	MIROC	MIROC-ESM MIROC-ESM-CHEM
Atmosphere and Ocean Research Institute (The University of Tokyo), National Institute for Environmental Studies, and Japan Agency for Marine-Earth Science and Technology	MIROC	MIROC4h MIROC5
Max-Planck-Institut für Meteorologie (Max Planck Institute for Meteorology)	MPI-M	MPI-ESM-MR MPI-ESM-LR MPI-ESM-P
Meteorological Research Institute	MRI	MRI-AGCM3.2H MRI-AGCM3.2S MRI-CGCM3 MRI-ESM1
Nonhydrostatic Icosahedral Atmospheric Model Group	NICAM	NICAM.09
Norwegian Climate Centre	NCC	NorESM1-M NorESM1-ME



Global warming is tracking the worst-case scenario

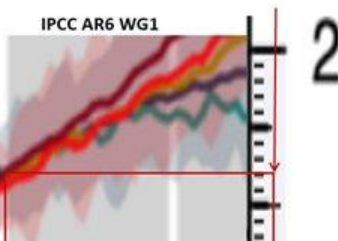
Use of 1.2°C for 2021 confirmed by global warming index

2021 global warming of 1.2°C from Berkely Earth & smoothed NASA GISS is used

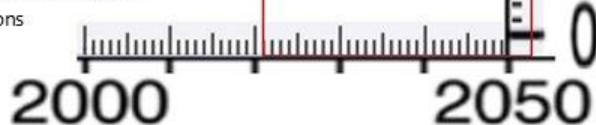


RCP 8.5 at 2021 is 1.2°C according to IPCC AR6 WG1

2021 RCP8.5: 1.2°C



IPCC, 2021, AR6, WG1 Figure 4.2:
Selected indicators of global climate
change from CMIP6 historical and
scenario simulations



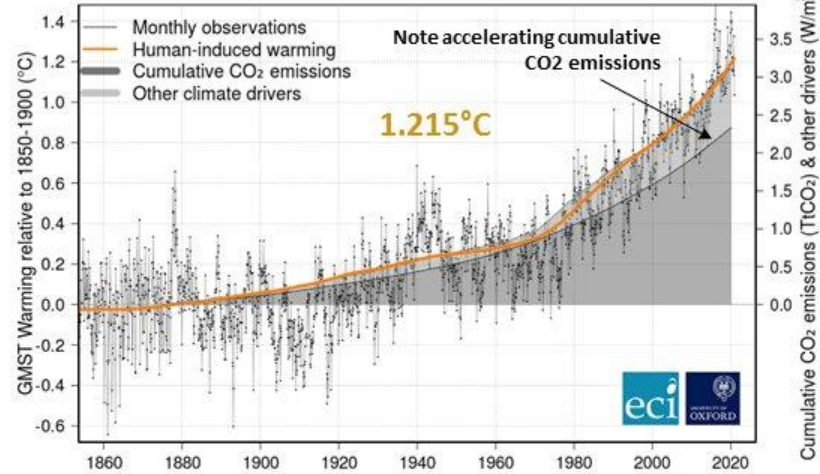
1. The global warming index is from emissions only
2. Latest global warming Index 21 Feb. 2021 is 1.244°C
3. The December 2021 Index was 1.215°C (below)

2021 was under a cooling La Niña, explaining why some results were lower than the Berkeley Earth 1.2°C

Human-induced warming: +1.244581093 °C

on Mon. 21 Feb 2022 23:43:49 GMT

Global Warming Index & Forcing Contributions - updated to Dec 2020



Globalwarmingindex.org is provided by the Oxford University Environmental Change Institute and the University of Leeds Priestley International Centre for Climate. globalwarmingindex.org

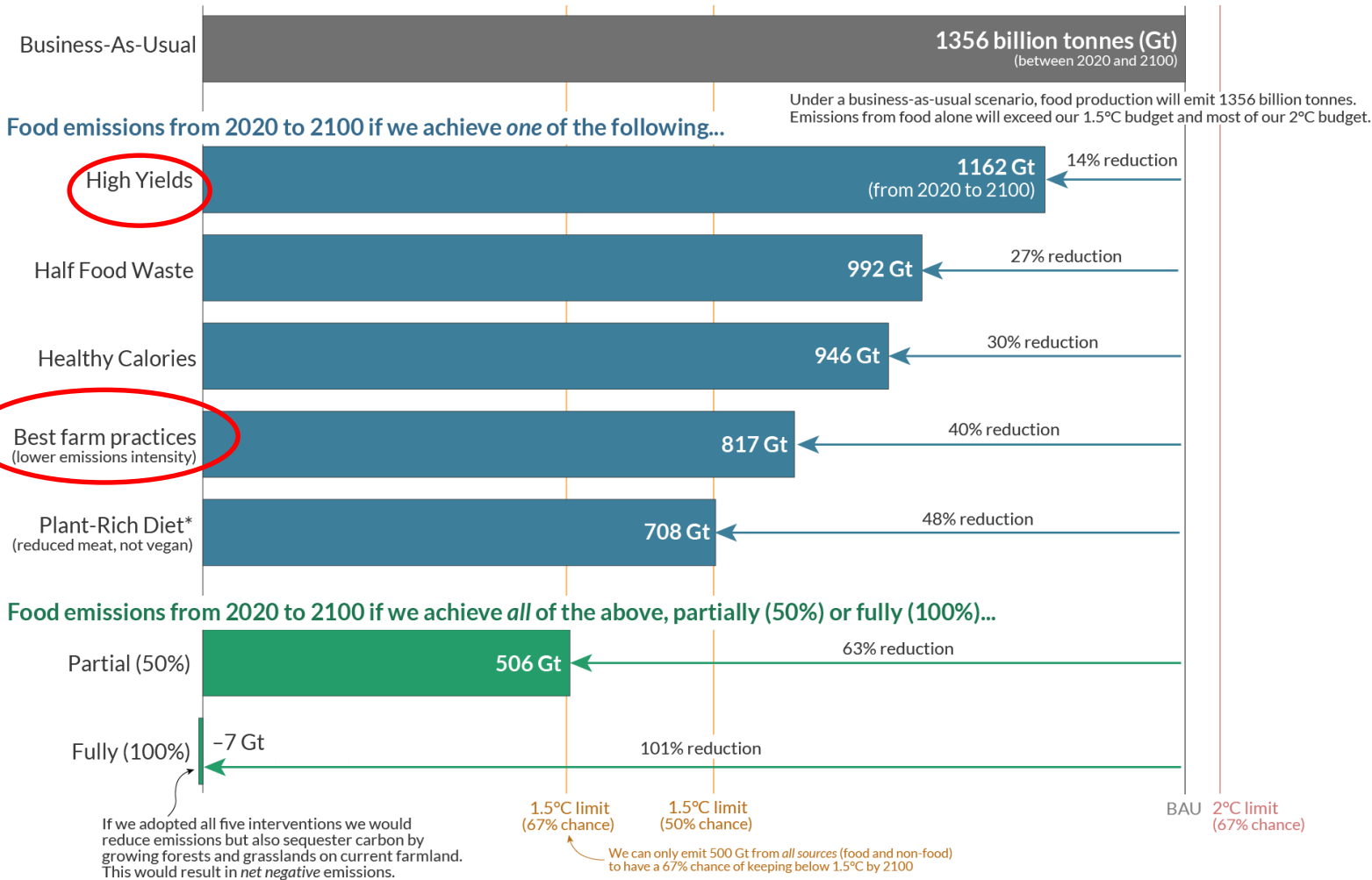
Peter Carter, Climate Emergency Institute



CIMMYT^{MR}

How can we reduce global greenhouse gas emissions from food?

Shown are estimates of cumulative greenhouse gas emissions from food production from 2020 to 2100 under a business-as-usual scenario, and five interventions to reduce emissions.
This is measured in global warming potential (GWP*) CO₂ warming-equivalents (CO₂-we).



*Based on the EAT-Lancet Planetary Health diet which includes reduces but does not eliminate meat or dairy consumption.

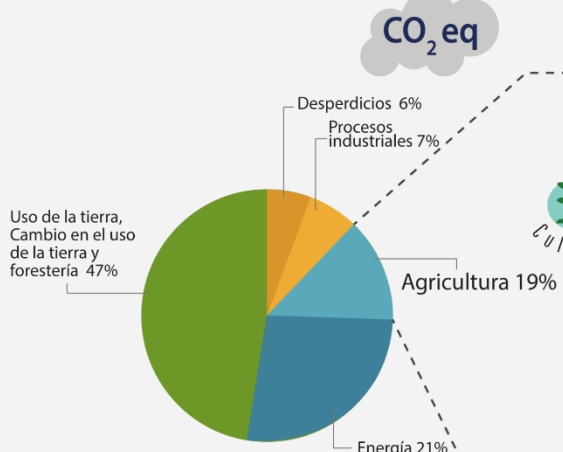
Source: Michael Clark et al. (2020). Global food system emissions could preclude achieving the 1.5° and 2°C climate change targets. *Science*.

OurWorldInData.org – Research and data to make progress against the world's largest problems.

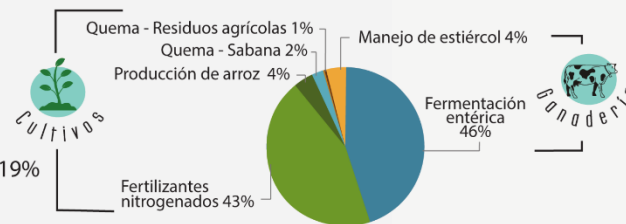
Licensed under CC-BY by the author Hannah Ritchie.

Emisiones del agro Peru

Emisiones de GEI [12]



Emisiones de GEI de la Producción Agropecuaria [12]



49,6%
11,2 megatoneladas
de emisiones de GEI
totales por cultivos

50,4%
11,4 megatoneladas
de emisiones de GEI
totales agrícolas por ganadería

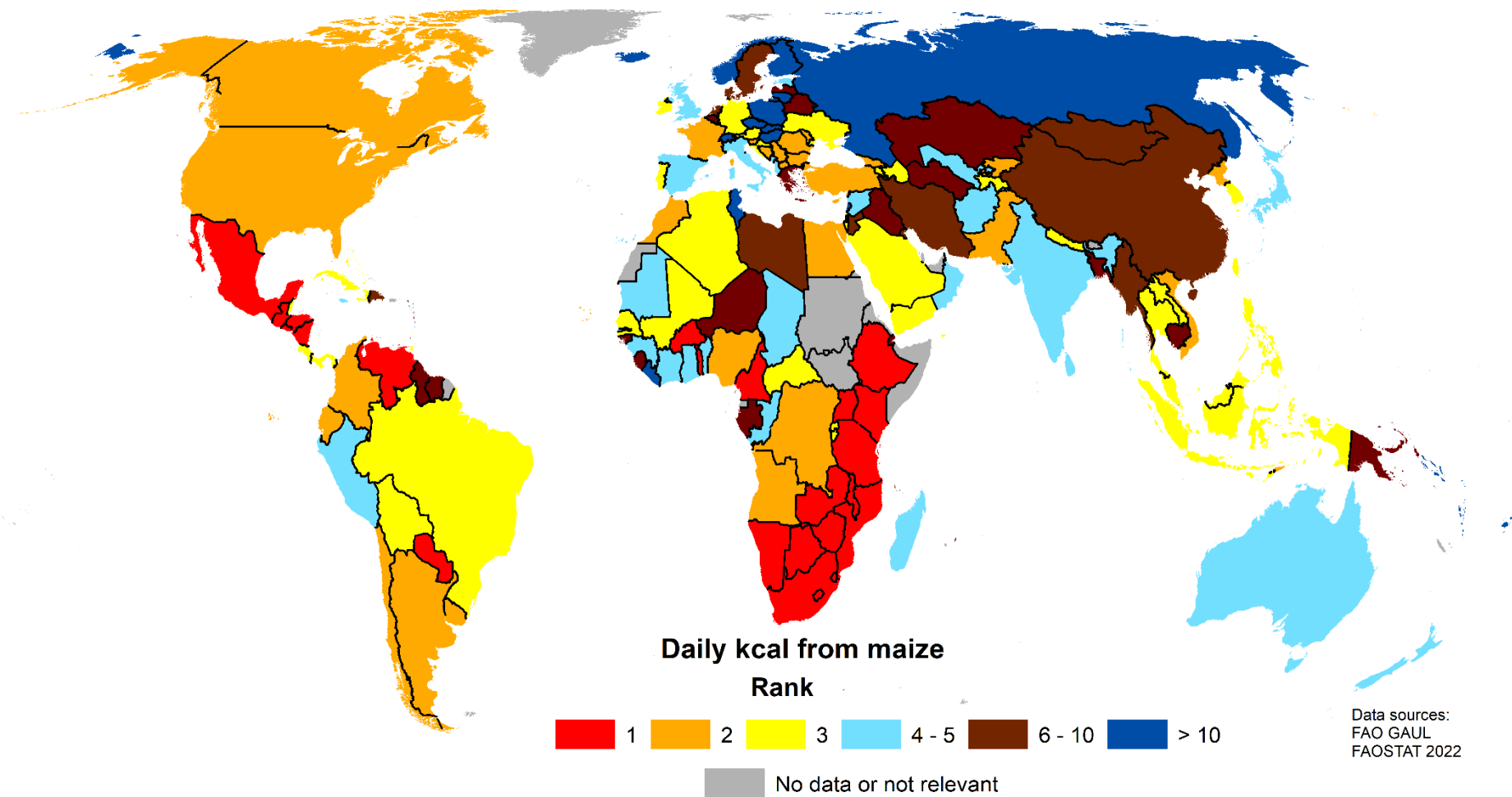


Implicaciones para producción de maíz



Calorías diarias proviniendo del maíz

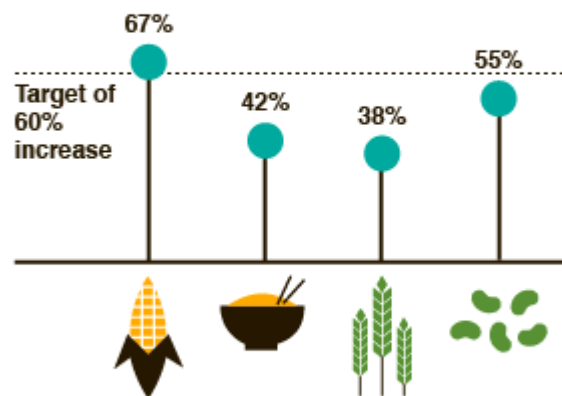
Rango de consumo diario por cápita a nivel país



Demanda para maíz incrementara 60% hasta el 2050 (FAO)

Al momento el incremento global de rendimiento de maíz es 1.6% por año. Eso implica que hasta el 2050 solo se lograra un incremento de 67% de la producción global

Yields of maize, rice, wheat, and soybean all need to **INCREASE BY 60%**, by 2050 to meet demand but current growth in yield are falling short of the target.

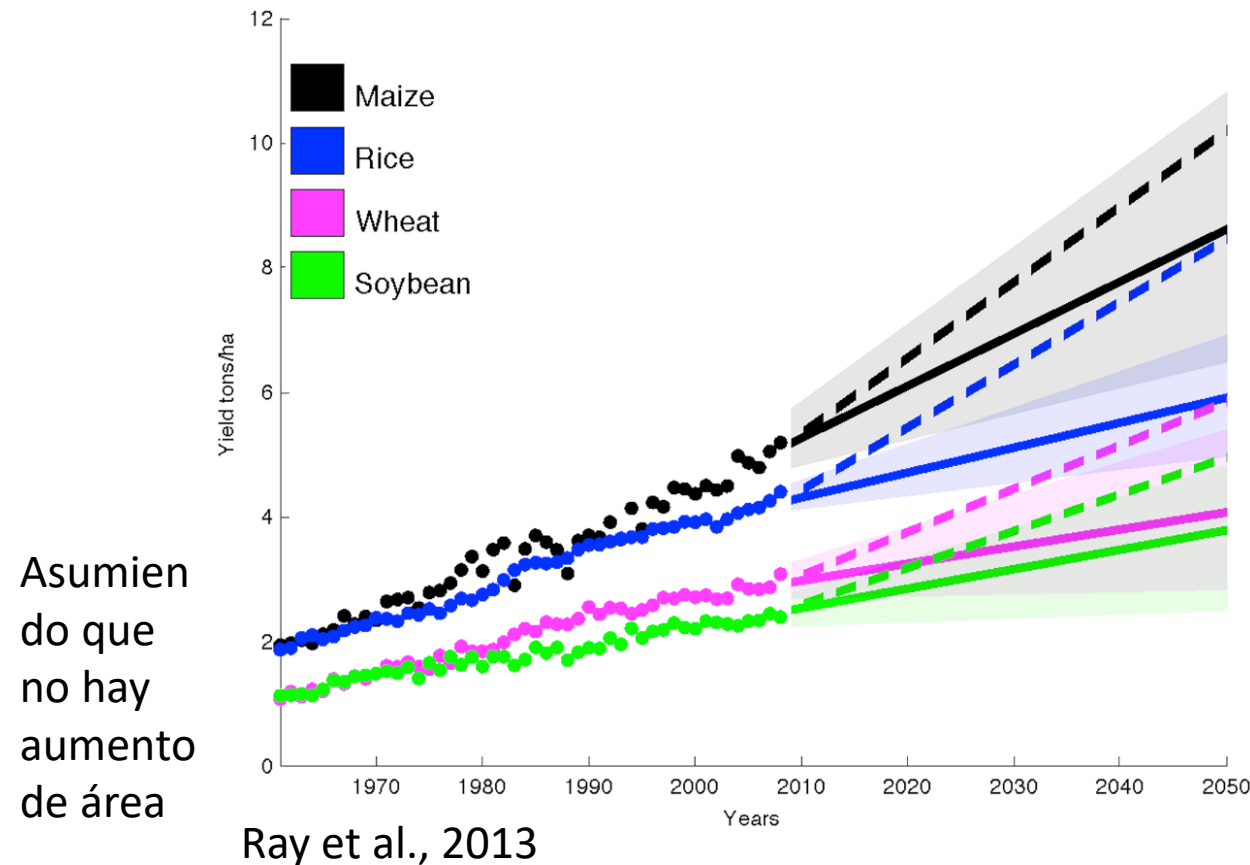


Source: Ray et al., 2013

Big Facts
ccafs.cgiar.org/bigfacts



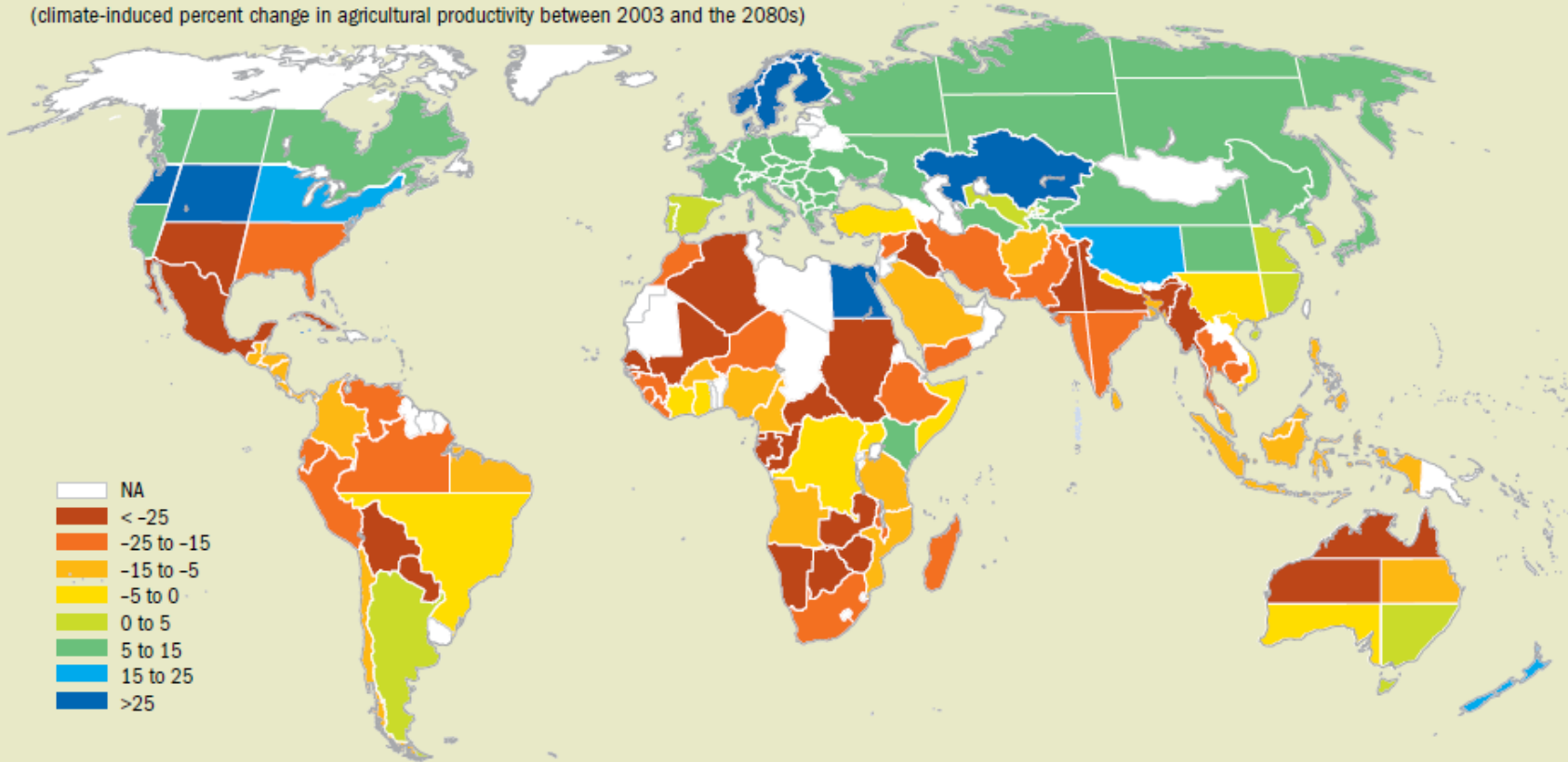
Aumento de rendimientos con taza de hoy no será suficiente para cubrir demanda



With carbon fertilization

If some crops benefit from increased carbon dioxide, the global impact is less dire and those areas farther from the equator may see some increases in agricultural productivity.

(climate-induced percent change in agricultural productivity between 2003 and the 2080s)



Source: Cline (2007).

Note: NA refers to "not applicable" for Alaska and northern Canada, and to "not available" elsewhere.

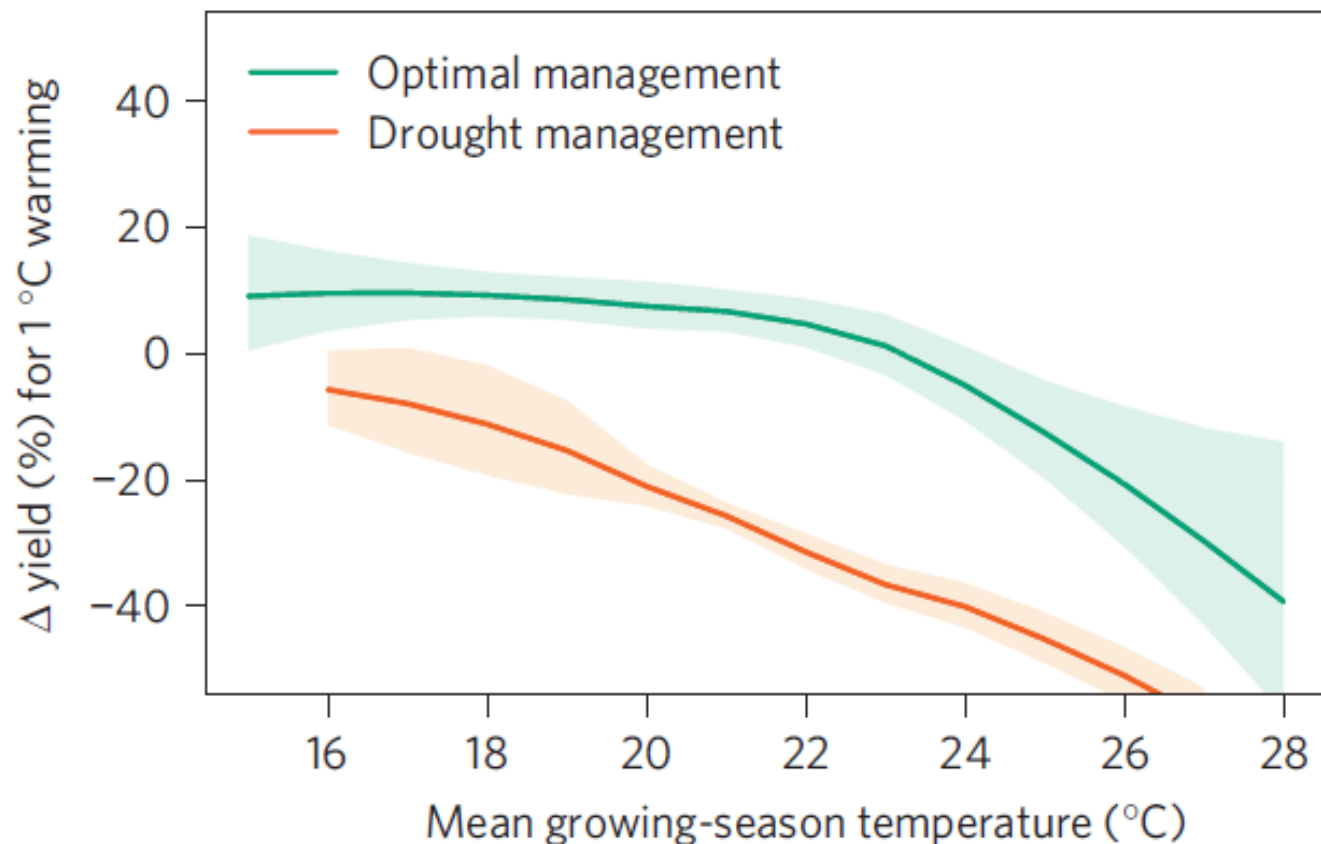
Impacto sobre agricultura Mexico:

-23% con fertilización CO₂ -35% sin fertilización CO₂

CIMMYT^{MR}

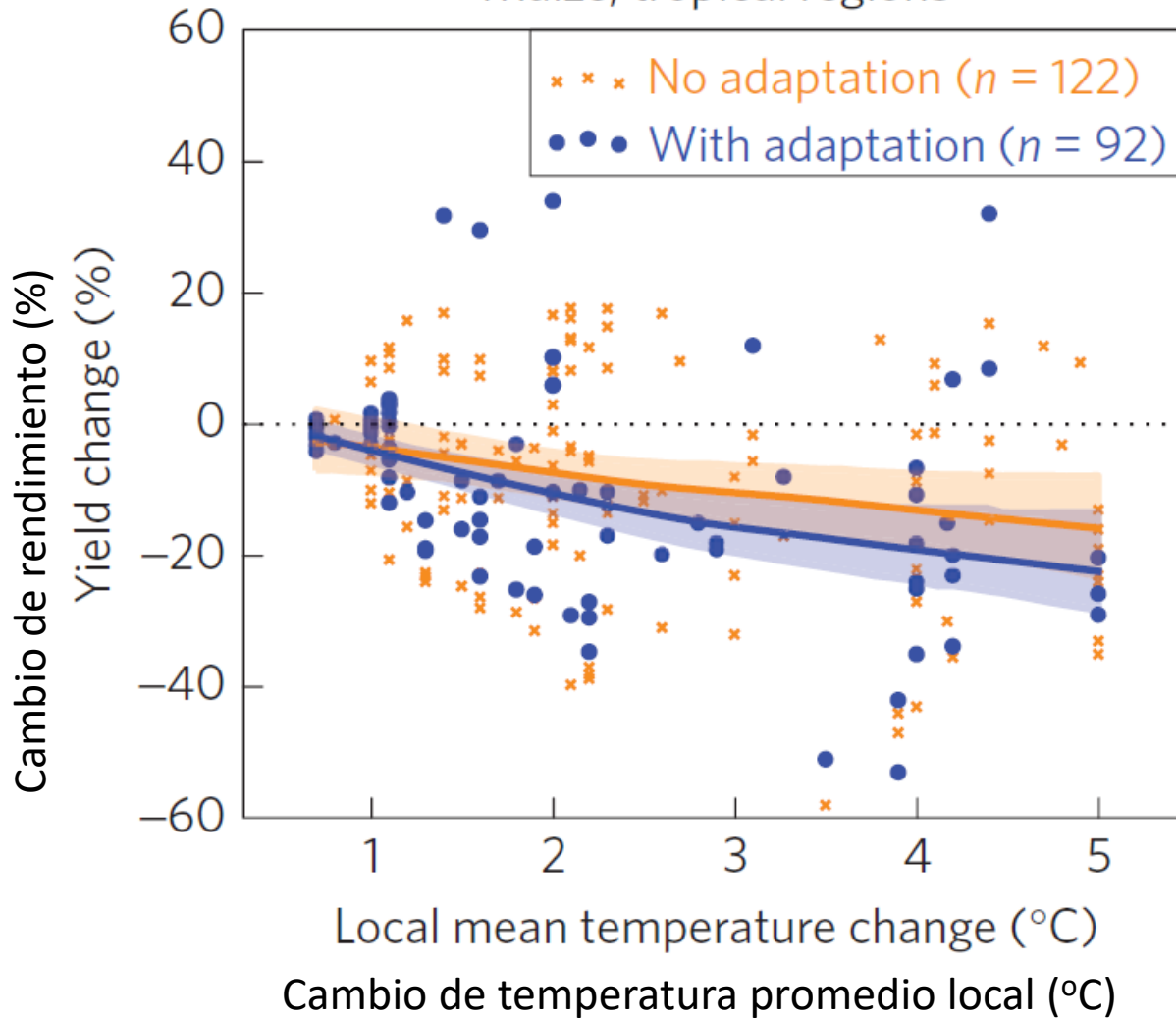
Efectos de temperatura

- 20,000 ensayos de rendimiento de maíz en África
- cada día de unidades calor GDD encima de 30 grados reduce el rendimiento 1% en temporal optimizado y 1.7% en condiciones de sequía
- En el futuro 65% de todo el maíz en África sufrirá perdidas de rendimiento con un grado de incremento de temperatura y 100% del maíz en condiciones de sequía

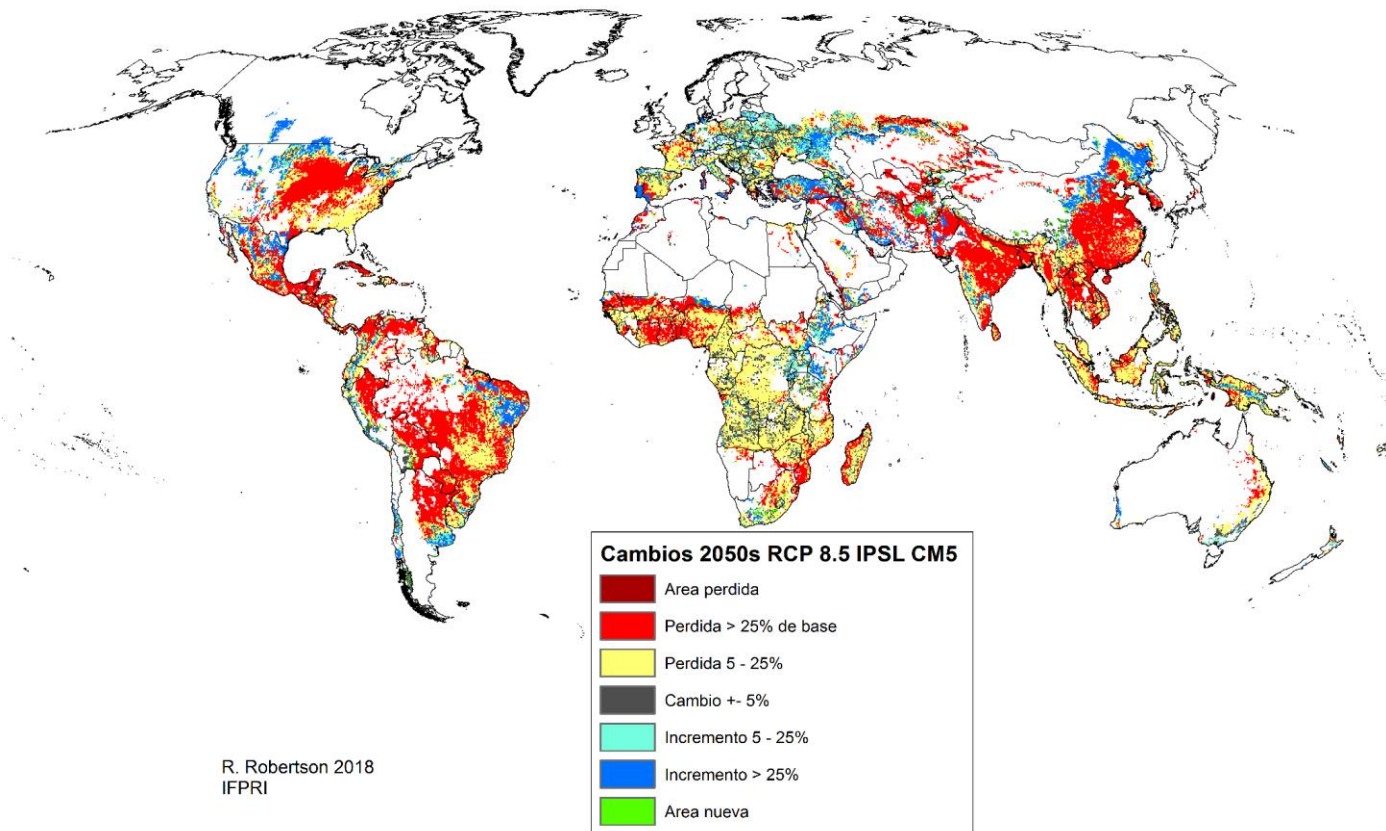


Meta análisis impacto

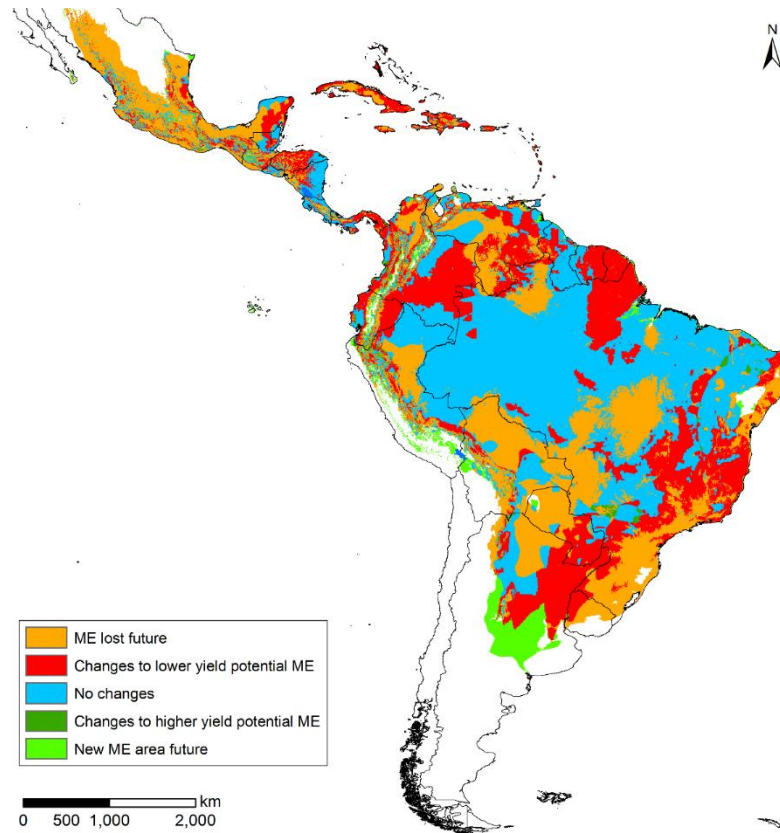
Maize, tropical regions



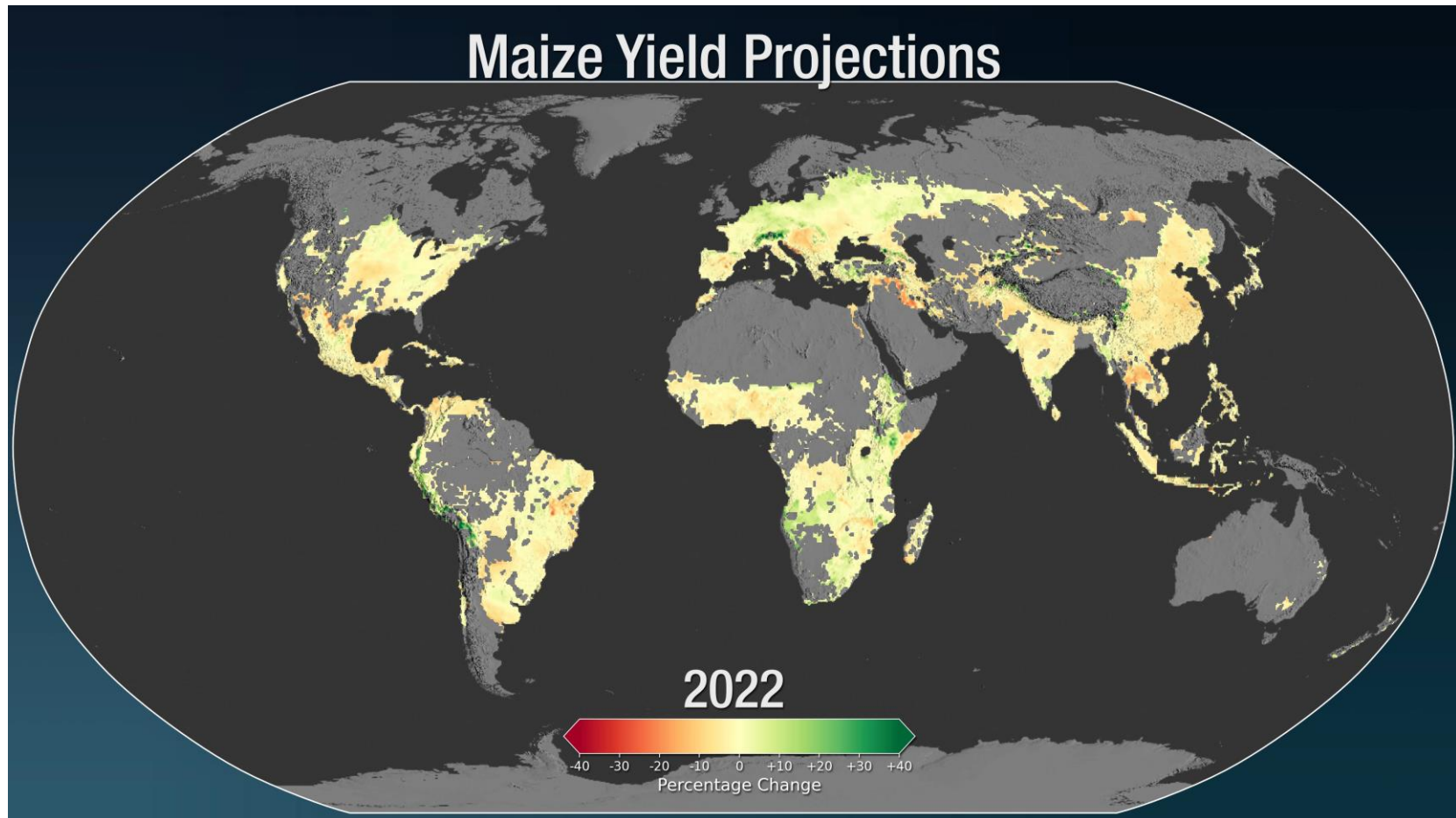
Predicciones de impacto sobre rendimientos a nivel global



Cambios de mega ambientes en LATAM



Estudio multi modelo AGMIP



Jägermeyr et al. 2021

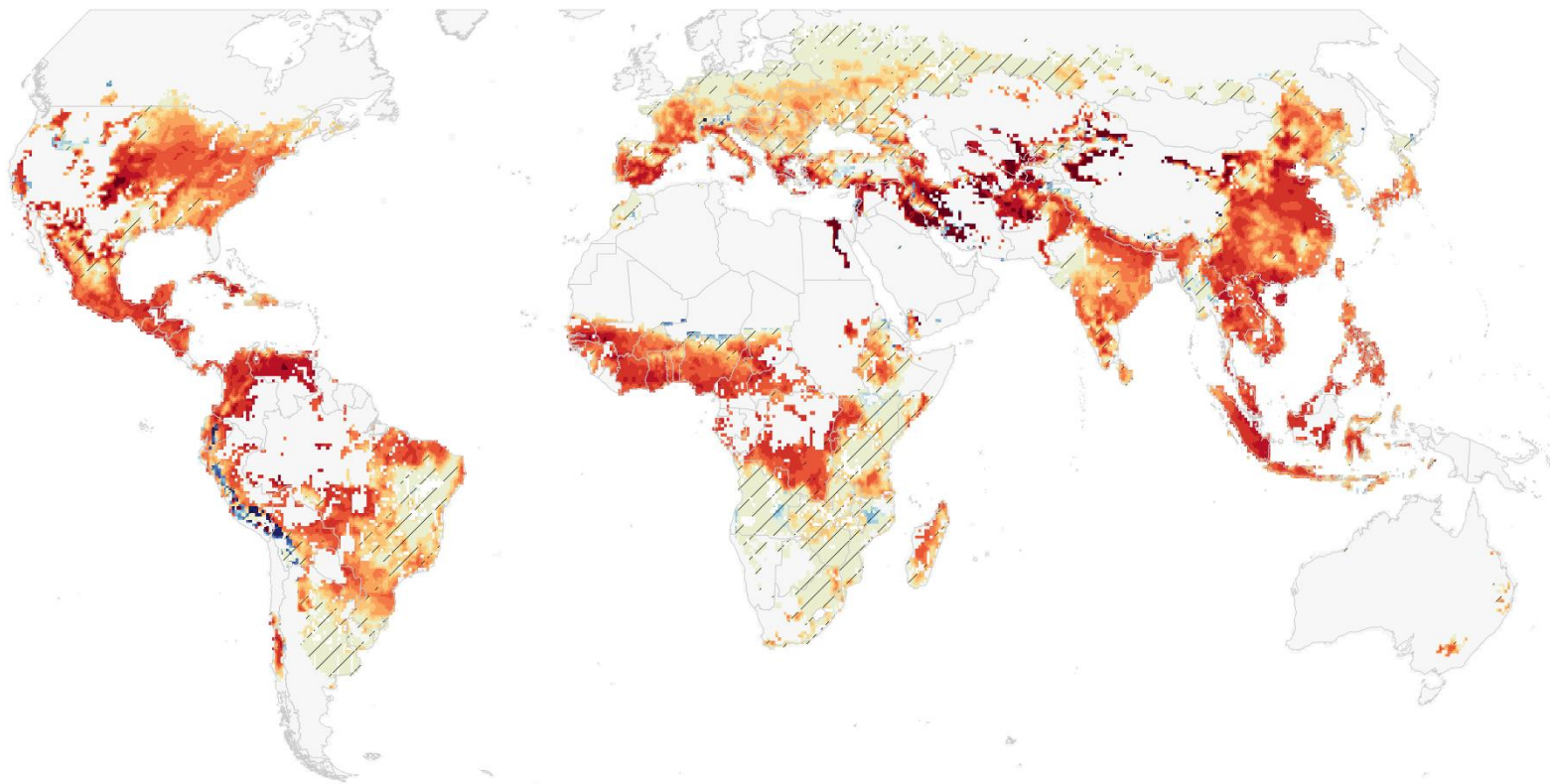


Estudio multi modelo AGMIP

Emergencia de cambio negativo

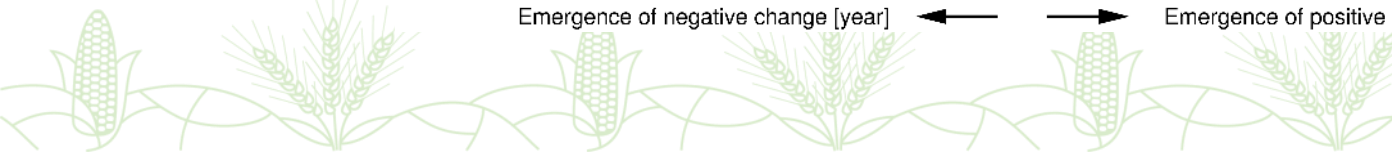
SSP585

b



Jaegermeyr et al, 2021

← Emergence of negative change [year] → ← Emergence of positive change [year] →



Impacto Maíz riego

Region	SPAM (2005)	AgMIP (2000–2050)	
	Harvested area (hectares)	Yield (tons)	Yield change (%)
Coast	108,807	4.13	1.5
Rainforest	3,934	4.24	5.2
Mountains	64,306	4.09	11.6
Peru	177,046	4.11	5.2



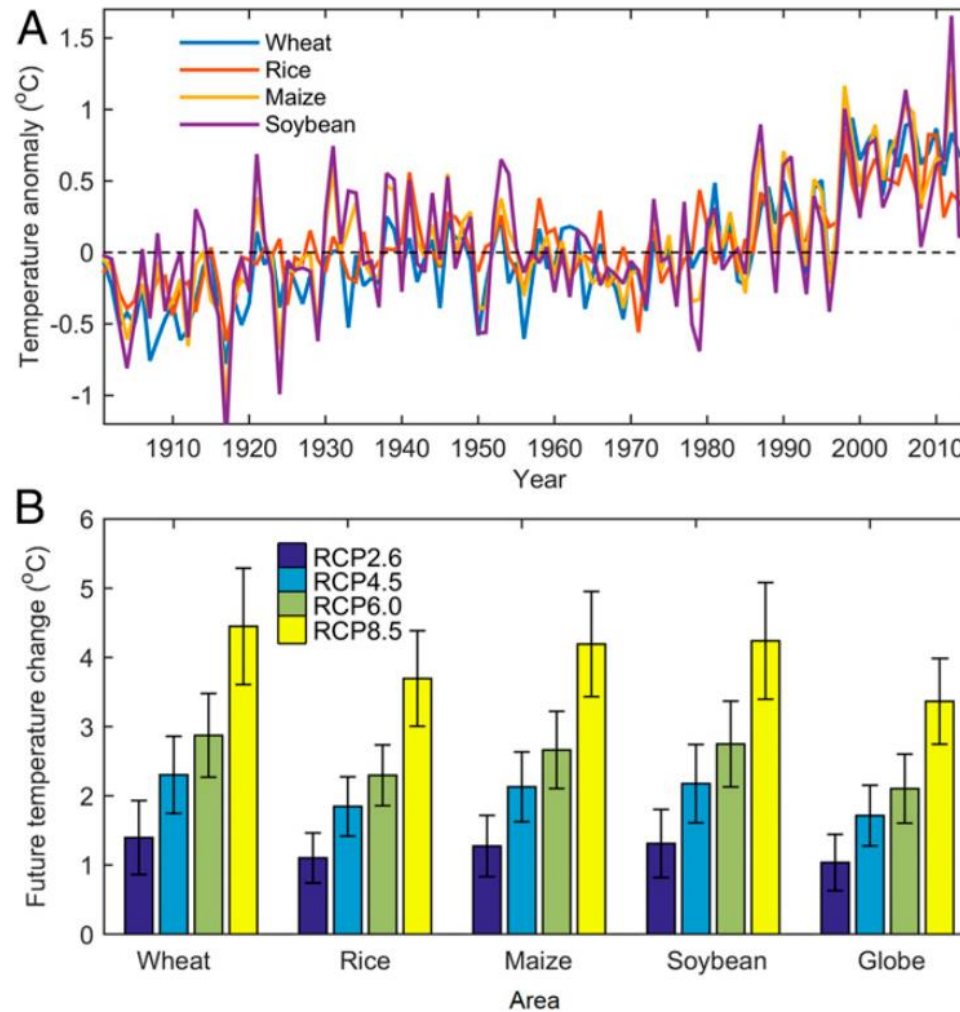
Impacto Maíz temporal

Region	SPAM (2005)	AgMIP (2000–2050)	
	Harvested area (hectares)	Yield (tons)	Yield change (%)
Coast	6,781	1.13	4.5
Rainforest	219,274	1.90	-9.3
Mountains	59,206	1.37	0.1
Peru	285,261	1.77	-7.5



Impacto Maíz global

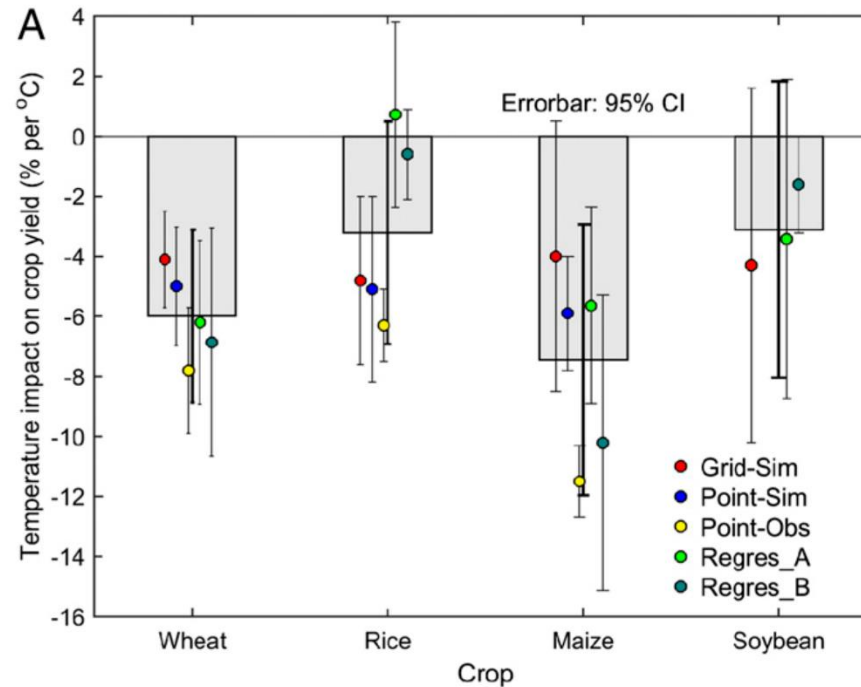
Cada grado de aumento de temperatura reduciría rendimientos globales de maíz en 7.4% sin adaptación, mejoramiento y fertilización CO₂



Zhao et al., 2017



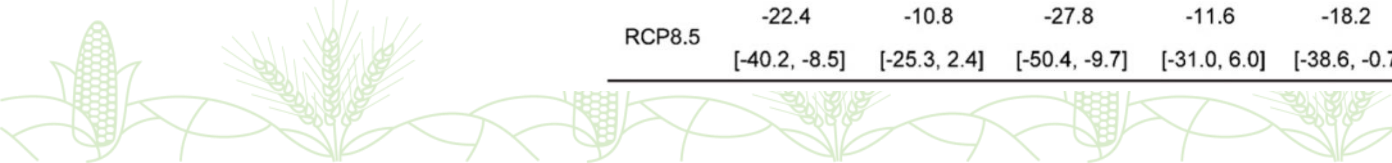
Impacto Maíz global



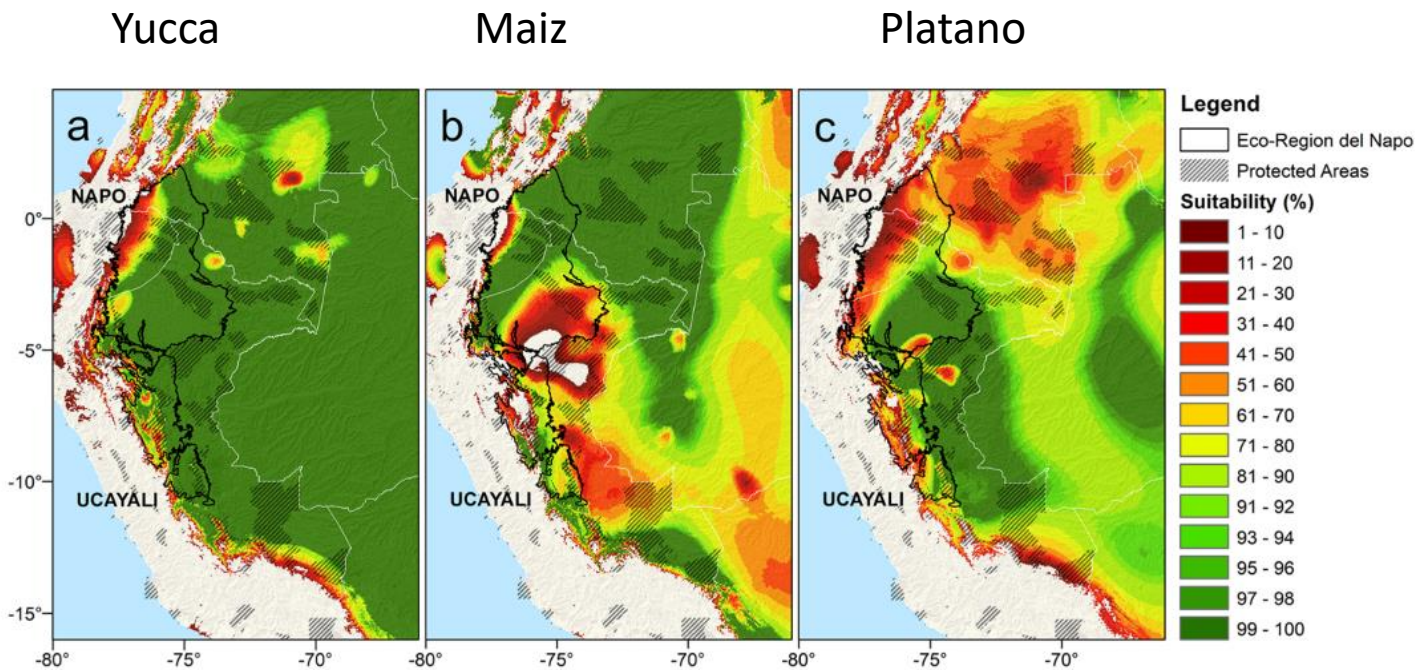
B

Scenario	Yield changes (%) due to temperature changes by the end of century				
	Wheat	Rice	Maize	Soybean	Mean
RCP2.6	-6.9	-3.3	-8.6	-3.6	-5.6
	[-15.0, -1.4]	[-9.2, 0.8]	[-18.6, -1.8]	[-11.2, 1.7]	[-14.4, -0.1]
RCP4.5	-11.4	-5.5	-14.2	-5.9	-9.2
	[-21.7, -3.9]	[-13.8, 1.0]	[-27.9, -4.9]	[-17.0, 3.1]	[-21.2, -0.3]
RCP6.0	-14.0	-6.8	-17.4	-7.2	-11.3
	[-25.7, -5.1]	[-16.8, 1.3]	[-33.1, -5.8]	[-20.2, 3.6]	[-25.6, 0.1]
RCP8.5	-22.4	-10.8	-27.8	-11.6	-18.2
	[-40.2, -8.5]	[-25.3, 2.4]	[-50.4, -9.7]	[-31.0, 6.0]	[-38.6, -0.7]

Zhao et al., 2017



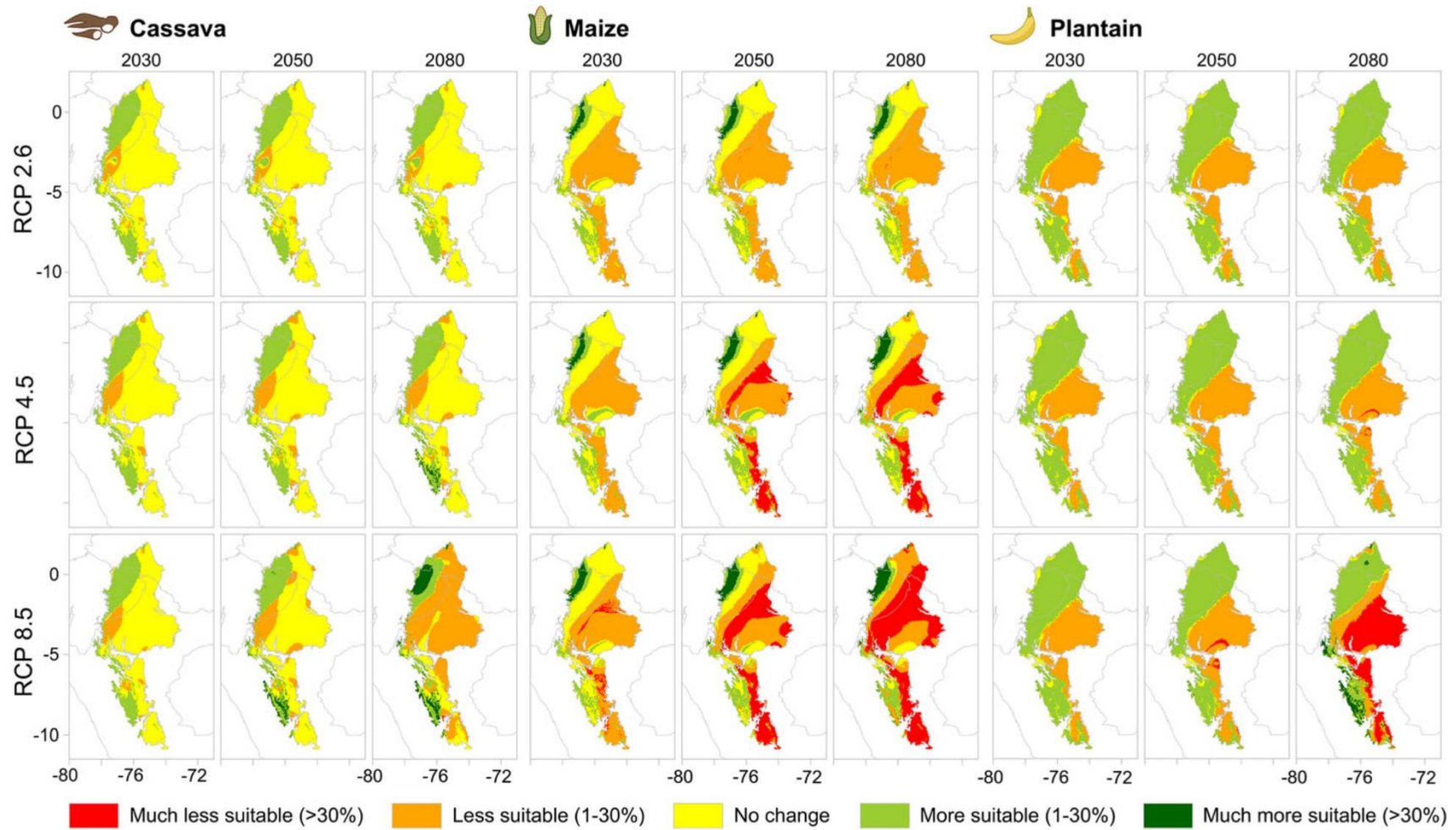
Impacto Aptitud Maíz Perú



Beltran Tolosa et al., 2020



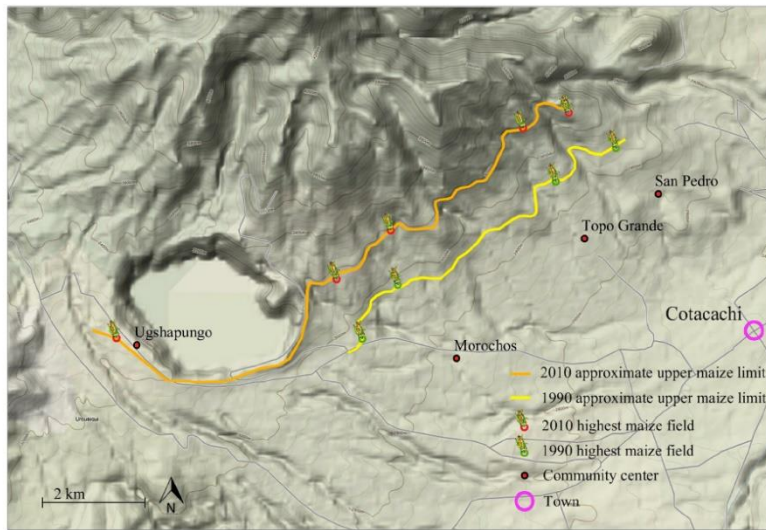
Impacto Aptitud Maíz Peru



Beltran Tolosa et al., 2020



Migración vertical de maíz en Ecuador



Mapa mostrando los límites de cultivación de maíz 1990 y 2010, Cotacachi, Ecuador

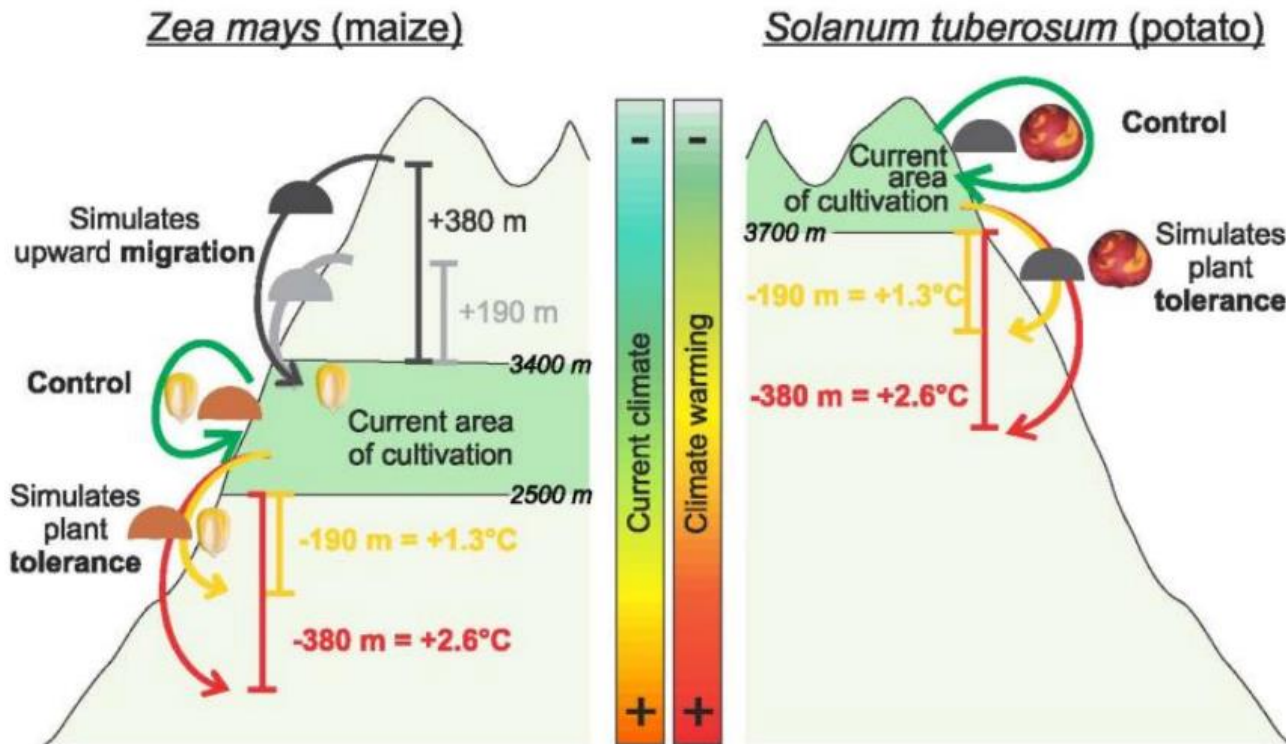
Table 1. Elevations of previous (1990) and present (2010) upper limits of maize cultivation in four communities in Cotacachi.

Community	Limit 1990 (m)	Limit 2010 (m)	Difference in elevation (m)	Distance ^a between limits (km)
Ugshapungo	NA ^b	3267	NA	NA
Morochos West	2968	3180	212	1.3
Morochos East	2985	3184	199	1.2
Topo Grande	2893	3192	299	1.2
San Pedro	2870	3119	249	1.3

Skarbo y VanderMolen, 2015. Climate and Development, 2016 Vol. 8, No. 3



Migración de Áreas Maíz Perú



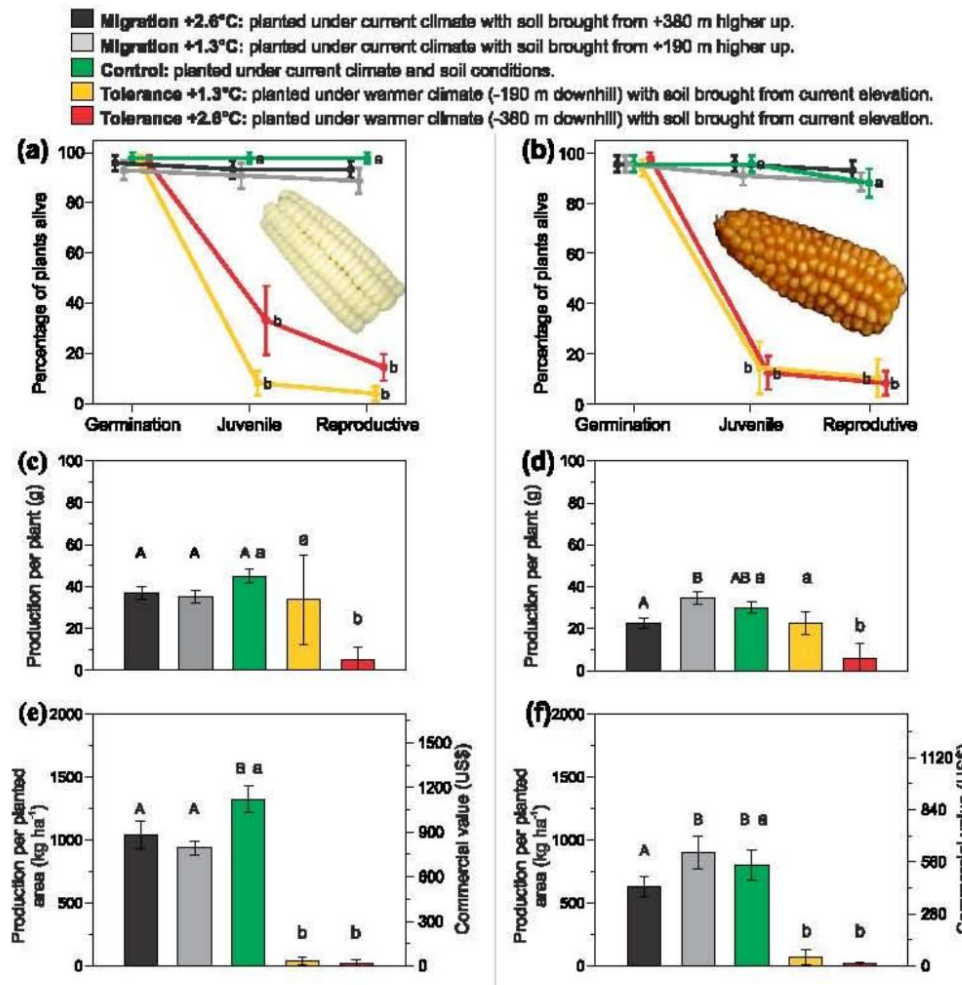
Tito et al., 2017



Migración de Áreas Maíz Perú

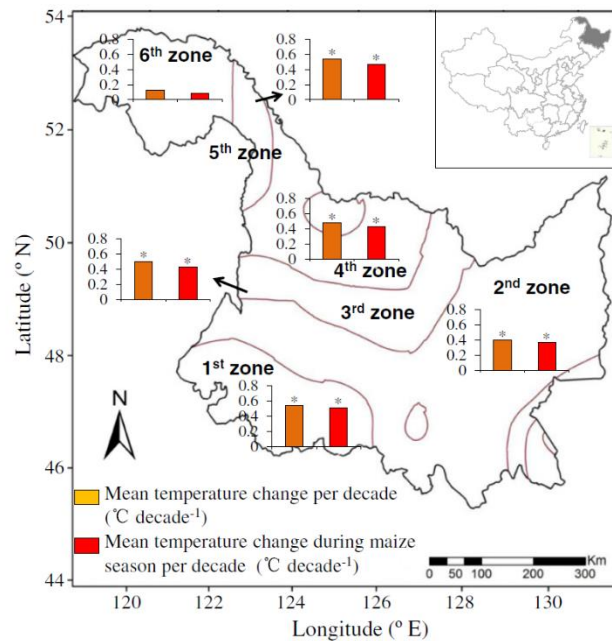
Rendimiento
maiz se redujo
21-29% con el
cambio de
suelos

Rendimiento de
maíz se redujo
hasta 87% con
las condiciones
mas calientes
con mas
presión de
plagas y
enfermedades



Tito et al., 2017

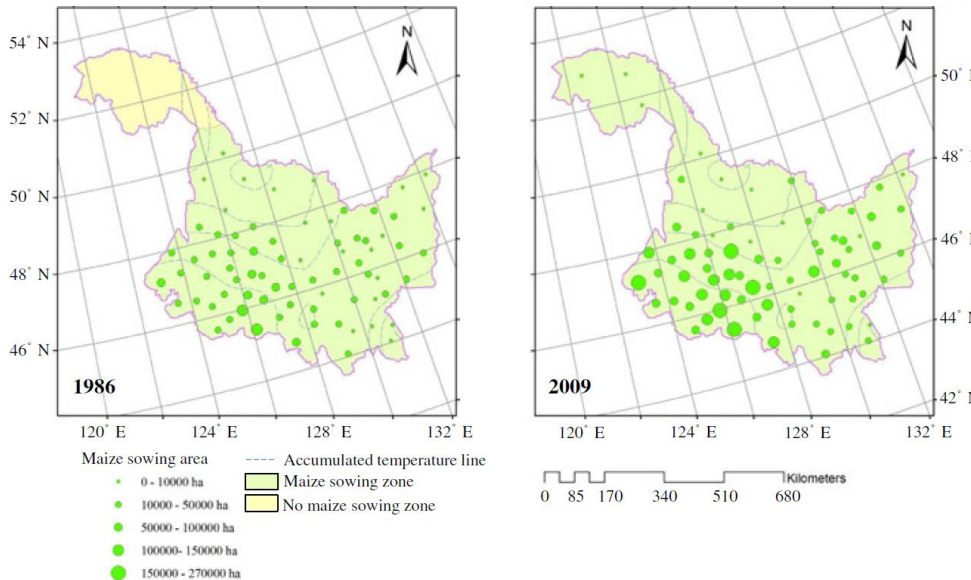
Aumento de temperatura y expansión de áreas de maíz hacia las latitudes altas China



Qingfeng Meng et al., 2014



Aumento de temperatura y expansión de áreas de maíz hacia las latitudes altas China



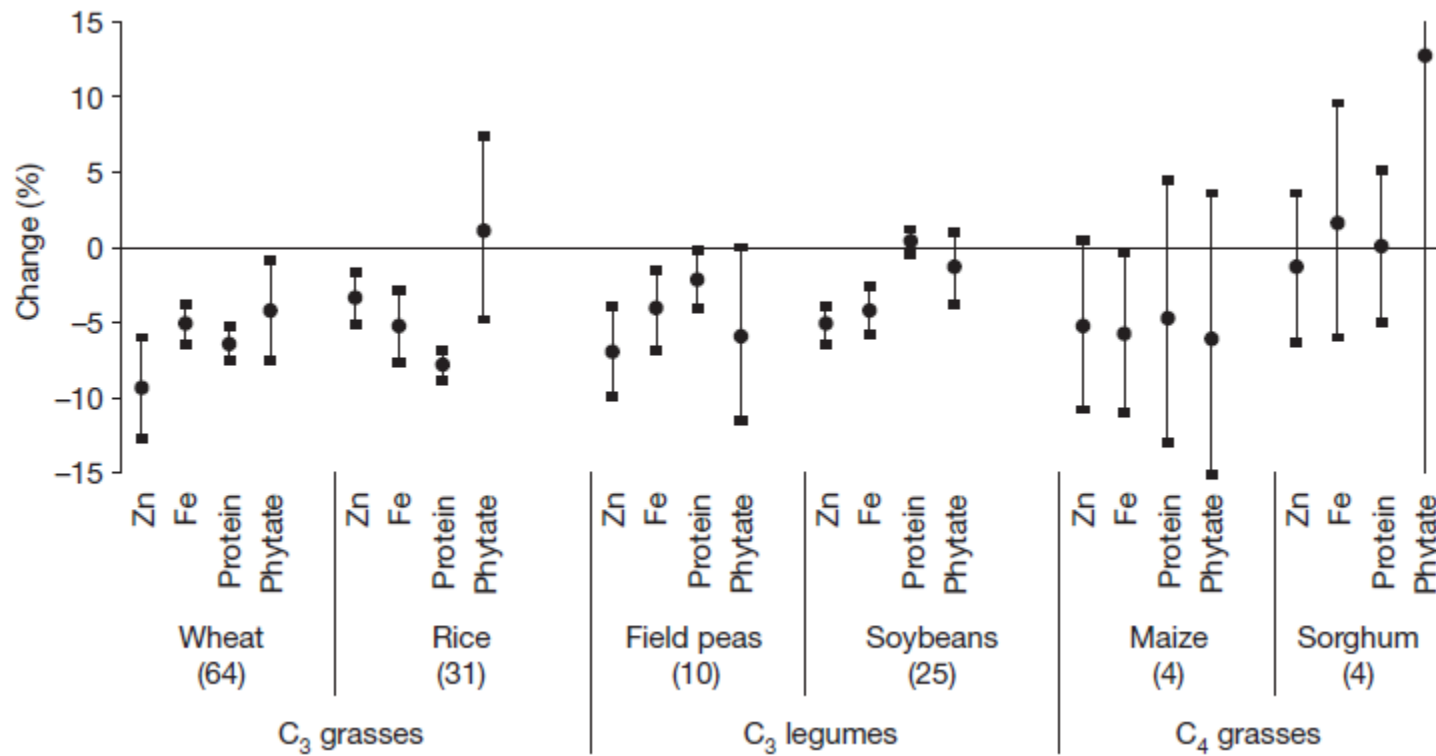
- Heilongjiang, China. Area
- Farmers switched to longer maturing varieties
- Maize area expanded strongly north > 290 km
- 1.88 Million ha in 1980 to 4.01 Million ha in 2009
- 7-17% yield gain per decade
- Warming led to 35% of yield gains in the area



Implicaciones para calidad de maíz



Cambio climático y nutrientes

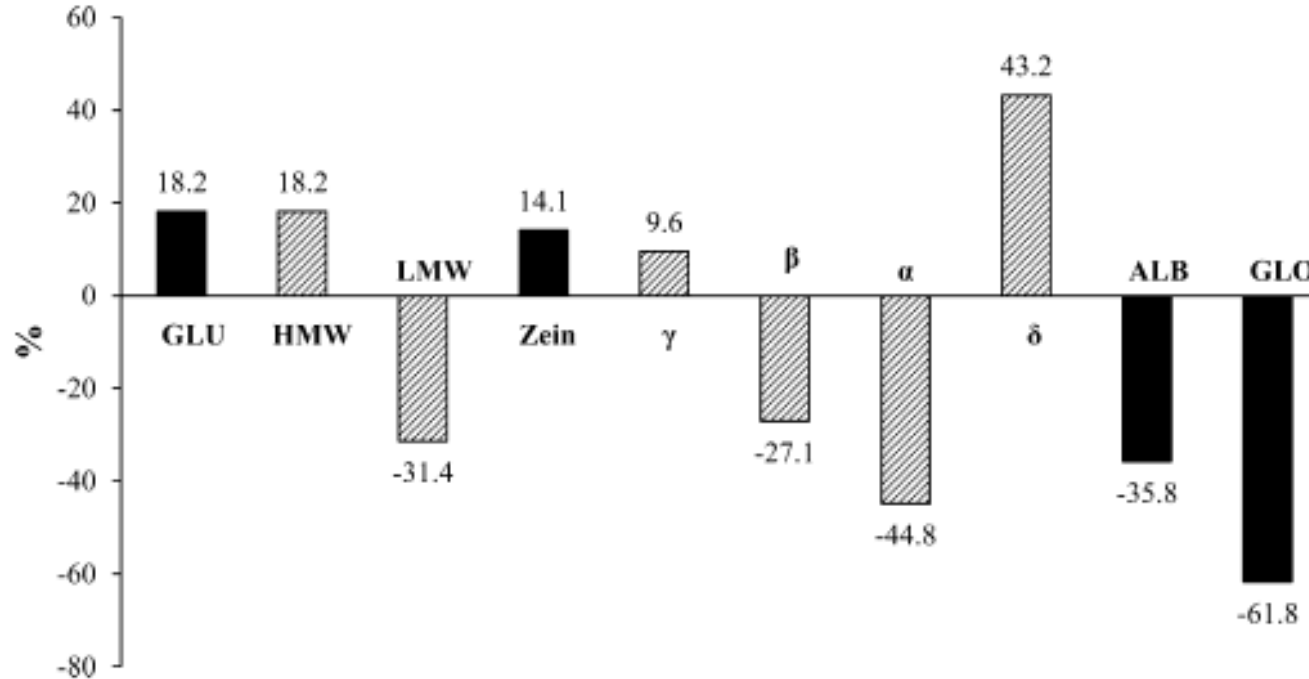


Cambios de contenido de nutrientes bajo CO₂ elevado

Myers et al., 2014., Nature. 2014 510 (7503)



Cambio climático y nutrientes



Cambios de fracciones y sub fracciones de proteína bajo CO₂ elevado

“El contenido de globulina, α -zein y LMW polímeros se redujo, mientras que glutelin total, zein, δ -zein, y polimeros HMW subieron. Cambio climático tendría impacto sobre la composición estructural de proteínas y en consecuencia el valor nutricional del maíz. Impacto sobre parametros de digestibilidad y degradabilidad es posible”

Cambios en calidad de maíz

- Reducciones en contenido de minerales bajo sequia pero parcialmente balanceados por CO₂ elevado
- Contenido de hierro disminuyo con CO₂ elevado
- Cambios en composición de proteinas



Cambio climático y enfermedades

Aspergillus flavus, A. parasiticus

Latino América

Aumento

Fusarium verticillioides

Latino América

Aumento

Fusarium graminearum

Latino América

Decremento

Maize streak virus MSV

África

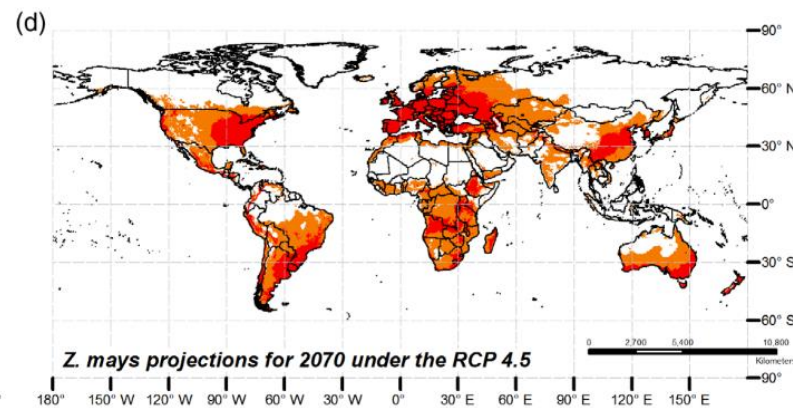
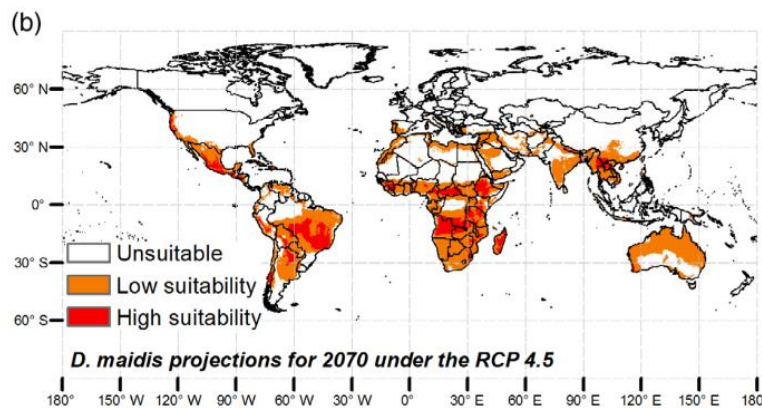
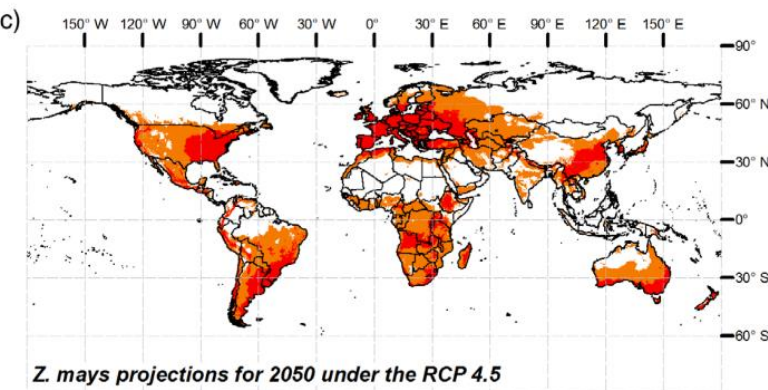
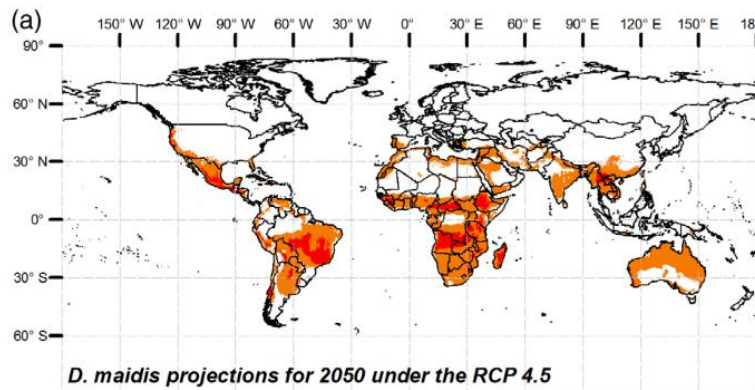
Aumento

Juroszek and von Tiedemann, 2013. Journal of Plant Diseases and Protection, **120** (2),



Cambio climático y plagas

Dalbulus maidis



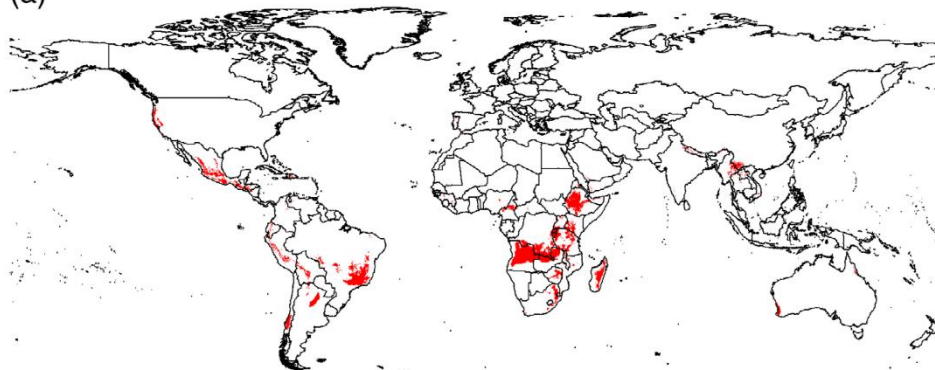
Santana et al. 2019



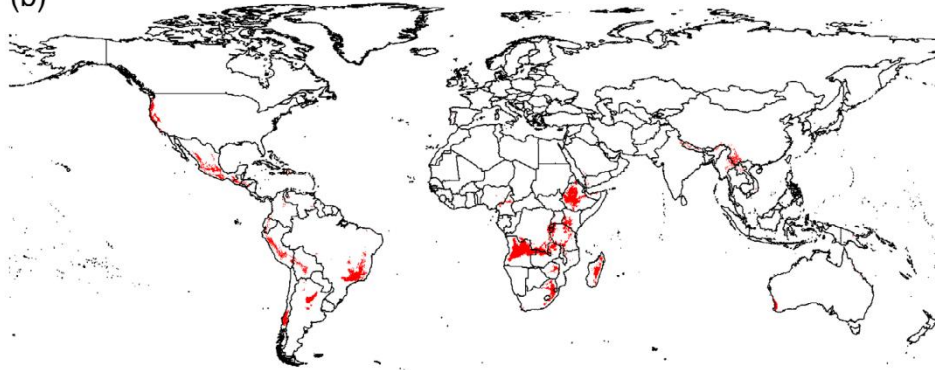
Cambio climático y plagas

Dalbulus maidis

(a)



(b)



Optimal for *Z. mays* and high suitable areas for *D. maidis* in 2070

Santana et al. 2019



Cambio climático y aflatoxinas

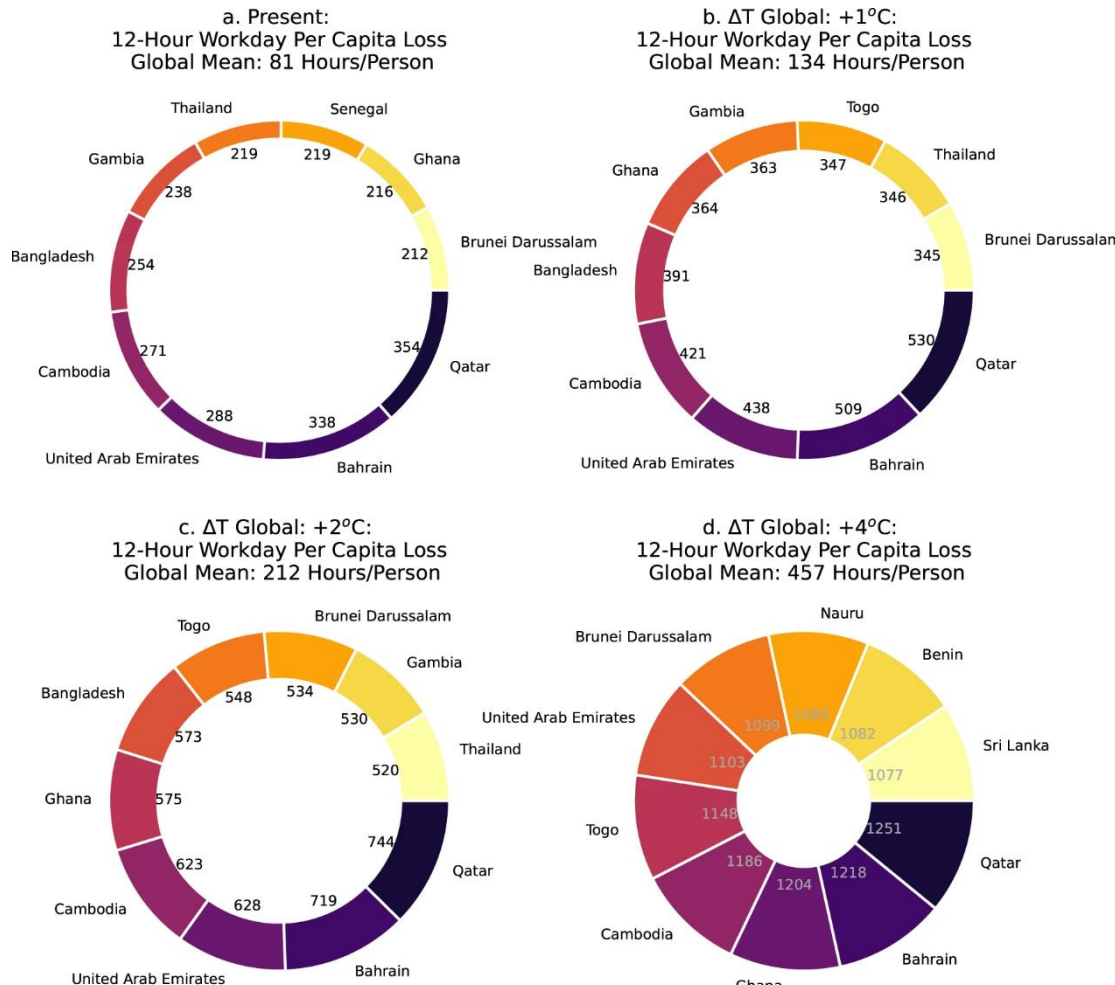
- Incremento de susceptibilidad de maíz a colonización con CO₂ elevado
- Combinación de CO₂ elevado, altas temperaturas y sequia puede aumentar la producción de AF1B de 70 veces
- Mas presencia en general posible bajo condiciones de cambio climático especialmente hongos de alta temperatura como *A. flavus* y aflatoxina mas el cambio de áreas subtropicales a tropicales

Medina et al., 2015

Paterson and Lima, 2011



Cambios de condiciones laborales debido a calor y humedad



Santana et al. 2019



Medidas para adaptación al cambio climático:

- Nuevas variedades mas tolerantes a sequia, calor y/o inundaciones (Inversión publica y privada)
- Incrementar velocidad de mejoramiento con fenotípico de alto rendimiento, modelos de cultivos y otras herramientas
- Resguardar y utilizar variabilidad de maíz guardada en bancos de germoplasma
- Aumentar velocidad de programas de mejoramiento y liberación de variedades
- Agricultura climáticamente inteligente (CSA)
- Agricultura de conservación (mejor retención de agua en el suelo, menos evapotranspiración, mejor infiltración de escorrentía, menos vulnerabilidad a la erosión)
- En algunas áreas cambio a cultivos mas tolerantes a calor y sequia (eg Sorgo)
- Planeación a largo plazo de sistemas de cultivo y programas de mejoramiento



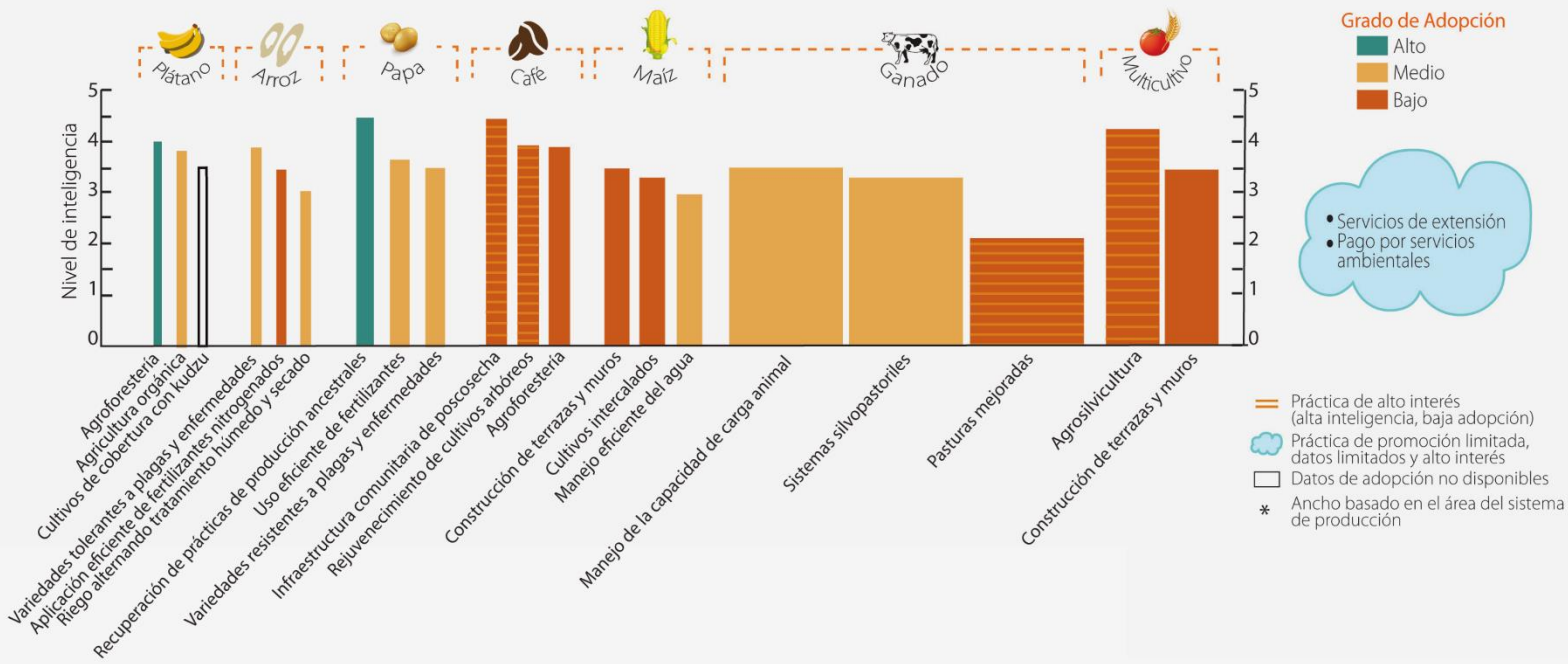
Medidas para adaptación al cambio climático:

- Manejo integrado de cuencas
- Sistemas de alertas tempranas y información sobre clima
- Acceso de productores a datos clima y suelos TICs
- Uso de datos grandes (big data) suelos, recomendaciones fertilizantes
- Agro ecología
- Agro forestería eg MIAF y otros
- Sistemas de riego mas eficientes
- Riego de goteo (mas cultivo por gota)
- Riego de precisión
- Agricultura de precisión (mas cultivo por insumos)



CSA en Perú

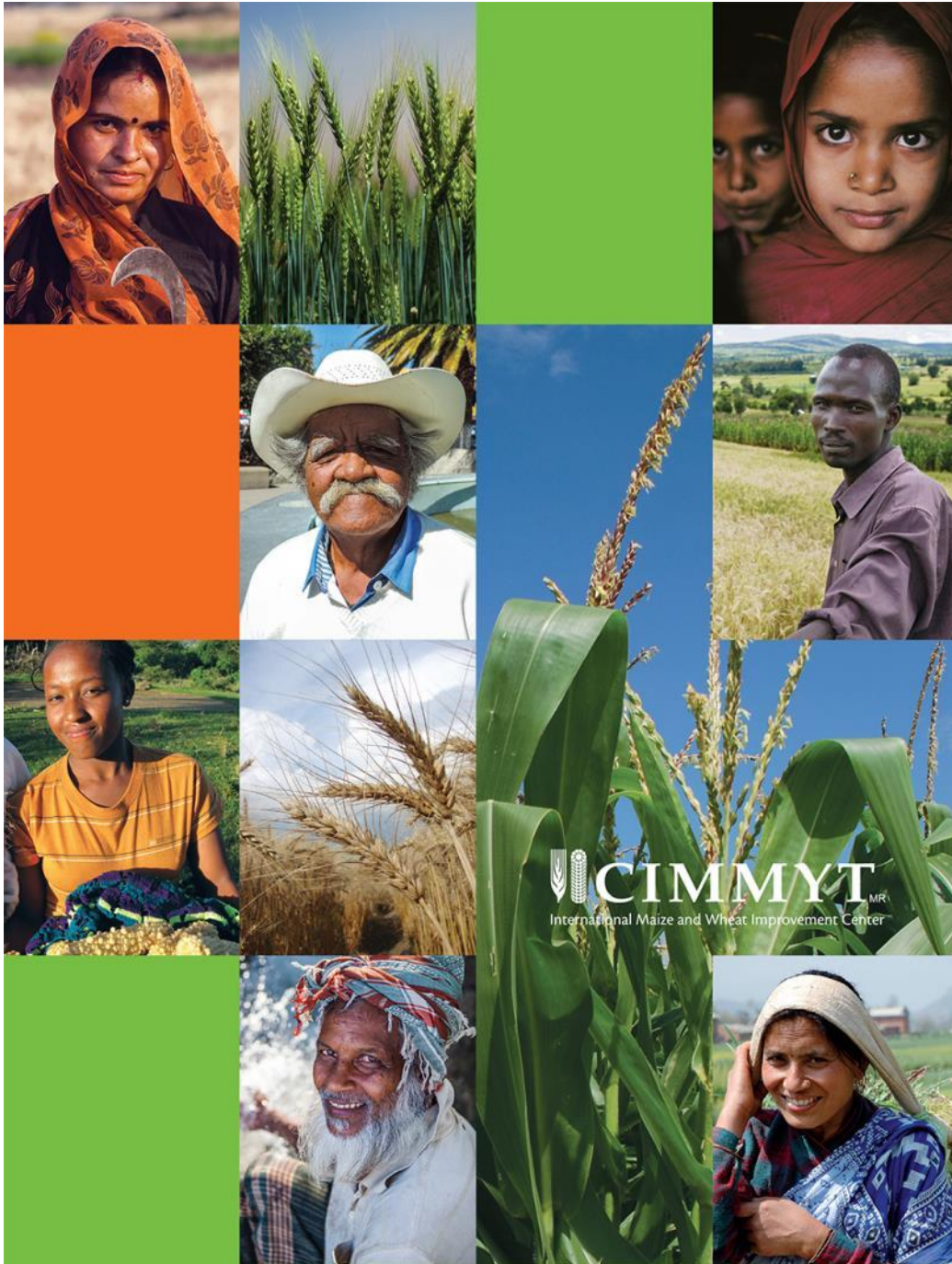
Prácticas Seleccionadas para cada Sistema de Producción con Alta Inteligencia Climática



CIAT CATIE 2014



Muchas gracias



 **CIMMYT^{MR}**
International Maize and Wheat Improvement Center